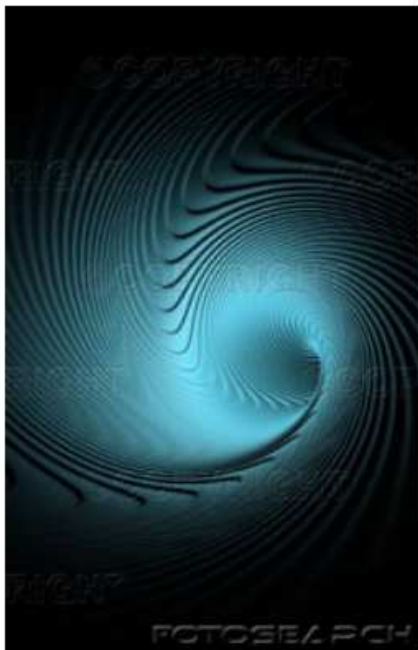
	<p>Касается SM TPU</p>	<p>Версия <b>1.0</b></p>	<p>Дата <b>6/9/2007</b></p>
	<p>ECD Преобразователь энергии</p>	<p>Количество Страниц 61</p>	<p>Состояние документа ОК</p>

**TPU=ECD**  
 ИЗОБРЕТЕНО СТИВЕНОМ МАРКОМ  
 Преобразователь Энергии  
**ИНТЕРПРЕТИРОВАНО**  
 Отто и Роберто



КЛИЕНТЫ : Заинтересованные лица  
ПРОЕКТ : ECD=TPU  
ДОКУМЕНТ : Техническое описание  
Версия : В. 1.0  
Дата : 6/9/2007

Ревизия истории						
РЕВ.	ДАТА	ИЗДАНИЕ	АВТОР	РЕЦЕНЗИЯ	ИСПЫТАНО	ОДОБРЕНО
G00-01.0	6/9/2007	Первое	Р. Ноутт, О. Саблярис	Р. Ноутт	О.Саблярис	О.Саблярис

Оригинальная копия	<input type="checkbox"/>	Отправлено: Отто Саблярис
Контрольная копия	<input type="checkbox"/>	Напечатано: 11/01/2009
Не контролируемая копия	<input checked="" type="checkbox"/>	Переведено: ЕОС 11/01/2009

Таблица сокращений

<b>SM</b>	Стивен Мрак
<b>TPU</b>	Тороидальное устройство питания
<b>ECD</b>	Преобразователь энергии
<b>PS</b>	Источник питания
<b>CC</b>	Управляющая катушка
<b>RE</b>	Радиантная энергия
<b>Seed</b>	Ключ к старту процесса преобразования
<b>ZERO</b>	Общая точка пульсации
<b>PHASE</b>	Общая точка выхода
<b>EOC</b>	НИК/Ф.И.О. переводчика на рус. язык

## Оглавление

1. ВВЕДЕНИЕ.....	7
2. ПЕРВОНАЧАЛЬНЫЕ ТЕСТЫ ОТТО.....	9
2.1 эксперимент: 50 витков на двух пальцах.....	9
2.2 тесты на диаметр кольца коллектора.....	11
3. ДЕТАЛИ СТРОИТЕЛЬСТВА.....	14
4. АНАЛИЗ DTO СТИМУЛЯТОРА.....	16
5. ПЕРВОЕ & ПОЛНАЯ КОНВЕРСИЯ СОБЫТИЙ.....	18
5.1 коллектор-тесты с проводами из различных металлов.....	20
5.2 оптимизация трансформатора управляющей катушки.....	21
5.2.2 тесты вторичной обмотки.....	28
5.3 Мебиус основа ECD -исследования.....	32
6. ВВЕДЕНИЕ.....	37
6.1 Тесты с двумя последовательно соединенными вторичными обмотками СС.....	37
6.2 Тесты с 15" ECD.....	48
7. КОРОТКОЕ ИСЛЕДОВАНИЕ СИИДА.....	58
8. КРАТКОЕ ФИНАЛЬНОЕ ЗАКЛЮЧЕНИЕ.....	61

## СТРАНИЦЫ РИСУНКОВ

Рис.1 первая установка, на катушке 50 витков.....	9
Рис.2 улучшенная установка, на катушке 50 витков.....	9
Рис.3 установка с двумя катушками.....	10
Рис.4 профиль крыла и позиционирование коллектора.....	12
Рис.5 схема DTO стимулятора.....	16
Рис.6 витая пара.....	17
Рис.7 корректное подключение.....	17
Рис.8 начальный тест.....	18
Рис.9 коллекторная установка для тестирования.....	21
Рис.10 финальные 6" две Мёбиус катушки .....	33
Рис.11 резюмирующий пик RE на нарастающем фронте.....	38
Рис.12 нулевая шина-резюмирующий пик RE с 2-мя частотами...38	
Рис.13 расширение рис.11.....	39
Рис.14 сигналы на затворах МОП-транзисторов.....	39
Рис.15 шина ФАЗА резюмирующий пик с 2-мя частотами.....	40
Рис.16 расширенная развертка Рис.14.....	40
Рис.17 старт процесса конверсии.....	41
Рис.18 временное соотношение между НОЛЕМ и F3.....	42
Рис.19 временное соотношение между НОЛЕМ и F3.....	42
Рис.20 детальное формирование синуса.....	43
Рис.21 три сформированных синуса.....	44

Рис.22	пиковое слияние.....	44
Рис.23	лампочка 100Ватт/230В.....	45
Рис.24	Синусоидальные волны включающие пики.....	45
Рис.25	.....	46
Рис.26	светящаяся лампочка зажженная 2-мя катушками.....	46
Рис.27	более точная подстройка частоты на 2-х катушках.....	47
Рис.28	различные части преобразованных пиков.....	47
Рис.29	детализация части преобразованного пика .....	48
Рис.30	16" ECD 3 СС и 1-на частота.....	48
Рис.31	пик съеден .....	49
Рис.32	подробности созданной синусоидальной волны.....	50
Рис.33	сигналы на концах нагрузки – нет преобразования.....	50
Рис.34	сигналы на концах нагрузки-преобразование & max.....	51
Рис.35	много синусных кусков объединенных вместе.....	52
Рис.36	медленная настройка.....	52
Рис.37	16" ECD 1СС и 1 частота.....	53
Рис.38	16" ECD 2СС и 2 частоты.....	53
Рис.39	16" ECD 2СС и 2 частоты.....	54
Рис.40	16" ECD 2СС и 2 частоты.....	54
Рис.41	16" ECD 3СС и 2 частоты почти полное преобра-ние.....	55
Рис.42	16" ECD 3СС и 2 частоты почти полное преобра-ние.....	55
Рис.43	это СИИД.....	58
Рис.44	СИИД сигнатура Магния.....	59

## ПРЕДИСЛОВИЕ

Этот документ представляет собой полное и подробное описание очень интересного явления:

### **«Полного преобразования энергии»**

Мы намерены, что бы этот документ был доступен для всех заинтересованных лиц. Этот документ может свободно дублироваться и распространяться без каких-либо возможных ограничений и без каких-либо претензий с нашей стороны.

### **МЫ НЕ ХОТИМ, ЧТОБЫ ЭТО УСТРОЙСТВО БЫЛО ЗАПАТЕНТОВАНО**

Наша цель заключается только в том, чтобы сделать эту информацию доступной для всех, без каких-либо ограничений любого рода.

*В любом случае хотим предупредить Вас о том что ECD может быть и скорее всего является очень опасным устройством и в случае если вы пострадаете от него, мы не хотим оставлять за собой какую-либо ответственность, так что совет: прежде чем вы приступите к изготовлению этого устройства примите надлежащие меры безопасности.*

ECD родился, благодаря гениальной интуиции Отто Саблярис, который потратил большую часть своего времени последних двух лет на разработку и улучшение оригинальных идей.

Роберто Ноутт внес свой вклад в основном в последний период, правильно обнаруживая и документируя фактически «ПРОЦЕСС ПРЕОБРАЗОВАНИЯ».

В документе, который Вы собираетесь прочитать, Вы найдете несколько теоретических оценок, которые помогут вам с божьей помощью разобраться позднее с процессами, протекающими в устройстве. Поэтому эту информацию следует рассматривать, как предварительную. Более подробную информацию можно получить, обратившись непосредственно к Отто Саблярис или Роберто Ноутт. Полное описание принципов, лежащих в основе функционирования ECD в конечном счете Вы можете обнаружить по ссылке:

<http://magnetism.fateback.com/Overunity.htm>.

**СМ заслуживает крепкого рукопожатия и благодарности.  
Только благодаря его оригинальным идеям, осуществленным для нас  
в виде нескольких минут некачественного видео  
позволило нам ПОВТОРИТЬ его работу**

И последнее: должно быть ясно, что СМ - очень умный человек, он потратил большую часть своей жизни на разработку TPU. С помощью новой доступной технологий мы преуспели меньше чем за 1 год в получении рабочей репликации.

## **1. ВВЕДЕНИЕ**

Этот документ разделен на две главных части:

1. Первая часть действительно соответствует логико-временной цепочке, которая позволяет ясно представить, как развивались события. Она действительно сообщает нам главным образом о тяжелой работе Отто в обнаружении правильных катушек и конфигураций Мёбиус проводов нужных для достижения лучших результатов и эту гениальную идею об использовании с модификациями в качестве стимулятора DTO (Диаманитный Торсионный Генератор).
2. Вторая часть сообщает детали исследования, которое проводилось при помощи профессионального оборудования, находившееся в арсенале у Отто и Роберто, позволившее им понять события, постепенно разворачивающиеся у нас перед глазами. Это исследование было, проведено при использовании фотографического оборудования, чтобы надлежащим образом удостовериться, что работа полностью завершена. Мы сначала провели испытания на 6" устройстве ECD, а затем построили новое устройство на 15" ECD.

Пожалуйста, будьте терпеливы, и прочитайте весь документ от начала до конца. Это действительно необходимо, для того чтобы осознать, что же происходит на самом деле.

Нам ясно, что это только первый шаг, впереди большая работа, поэтому мы обращаемся ко всем заинтересованным лицам принять активное участие в реализации этого ECD проекта.

Из последних мыслей: Когда ECD функционирует в режиме близком к полному преобразованию энергии, он взаимодействует с эфиром (?) В вырабатываемой энергии сосредоточена большая мощность. Какая часть её передается через источник питания (?)

Источник питания используется только для того чтобы запустить 3 генератора, он никак не связан с эл. энергией полученной от преобразования эфира! Это наше понимание.

## ЧАСТЬ ПЕРВАЯ

# *УСТАНОВКА КОЛЬЦЕВОГО МЁБИУСА, РАЗРАБОТКА & ОПТИМИЗАЦИЯ*



## 2. ПЕРВОНАЧАЛЬНЫЕ ТЕСТЫ ОТТО

### 2.1 ЭКСПЕРИМЕНТ: 50 ВИТКОВ НА ДВУХ ПАЛЬЦАХ

Для этого первого теста Отто действительно использовал быстро собранную «на соплях» установку:

- маленький +12V P.S. постоянного тока,
- маленькую катушку, намотанную на двух пальцах, приблизительно 50 витков медного эмалированного провода,
- кусок провода, пропущенный внутри намотанной на пальцах катушки, был подсоединен к плюсовой точке +12V PS через маленькую 24В/5Вт лампочку накаливания.

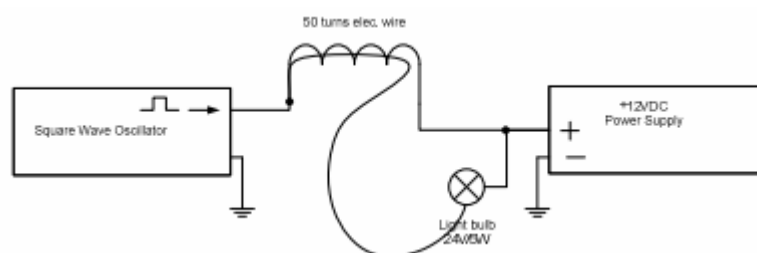


Рис.1 - первая установка, на катушке 50 витков

Этот эксперимент, послужил стимулятором для дальнейших исследований: даже используя этот минимальный подход, удалось зажечь так или иначе подсоединенную лампочку накаливания. Автоматически следующий шаг был направлен на поиски улучшения этой идеи. Конечно же, генерируемая мощность генератора была настолько мала, да и время нарастания выходного импульса (от генератора) не удовлетворяло Отто и возникла идея, а почему бы не попытаться применить в качестве переключателя уровней скоростной MOSFET транзистор. И посмотреть, что из этого получится.

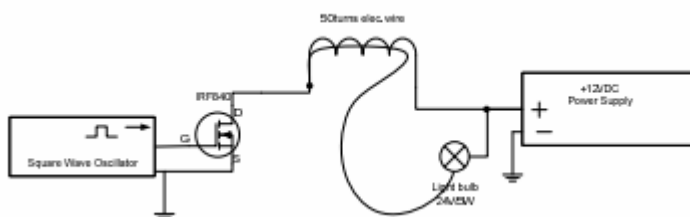


Рис.2 - улучшенная установка, на катушке 50 витков

Как впоследствии выяснилось, что и эта установка была далеко не лучшая. Тогда логично было бы попробовать другое расширение, пропустить провод внутри двух параллельно соединенных между собой катушек.

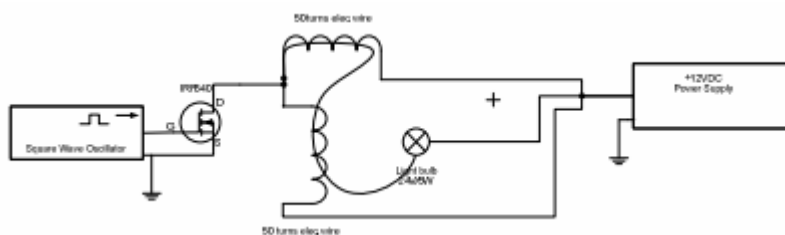


Рис.3 – установка с двумя катушками

Вновь использованные улучшения принесли промежуточные плоды, но когда попробовали подключить к установке лампочку на 25Вт ... нет мощности и все тут. Как говориться пришло время попробовать запустить установку с реальным петлевым коллектором (накопителем) и за одно ответить на первый вопрос: Какую использовать проволоку (диаметр/отрезок/материал) чтобы получить наилучшие результаты (для достижения макс. яркости лампочки)?

Для этой цели Отто использовал простой стрелочный тестер, для того чтобы получить результаты измерений только пиковой амплитуды (не абсолютные значения). Это действительно следует из результатов приведенных в таблице.

Тесты в этой работе проводились с паяльной проволокой диаметром 1мм, которая использовалась в качестве электропроводного материала, нарезаемая (с шагом 0.2см) прогрессивным способом.

ПАЯЛЬНАЯ ПРОВОЛОКА ИСПОЛЬЗОВАННАЯ ДЛЯ КОЛЛЕКТОРА диаметром 1мм		
Длина (см)	Пиковая ампл. (В)	замечания
67	5,00	
65	4,97	
63	5,20	
61	5,80	
59	5,80	
57	5,60	
55	5,50	
53	5,58	
51	5,90	
49	5,75	
47	6,00	
45	6,10	
43	5,90	
41	6,40	
39	6,40	
37	6,30	
35	6,00	
33	7,40	
31	5,50	
29	5,40	
27	5,80	
25	4,80	
23	5,00	
21	5,40	
19	4,60	

Таблица 1

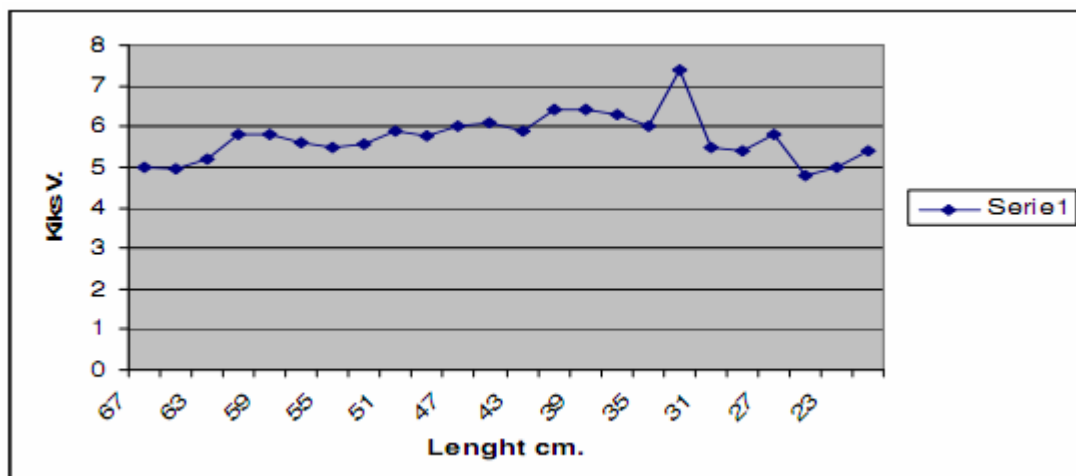


Диаграмма 1

Из диаграммы следует: что из «паяльной проволоки» получится лучший коллектор длиной в 33 см.

## 2.2 Тесты на диаметр кольца коллектора

Почему нужно использовать 6" диаметр коллектора, а не 7" или любое другое число? Это действительно очень важно. Например:

Примечание 1:

диаметр коллектора для 6" = 15.24 см.

диаметр коллектора для 4" = 10.16 см.

Примечание: 2:

Периметр окружности для 6" коллектора = 47.85 см.

Периметр окружности для 4" коллектора = 31.90 см.

Так вот здесь в таблице сведены результаты выходной пиковой амплитуды в зависимости от длины и свойств металлической проволоки. Пожалуйста, для себя отметьте, для того чтобы уменьшить ошибки при измерении, замер параметров осуществлялся от 2 до 3х раз.

COLLECTOR WITH VARIOUS METALS & LENGHTS 1 mm. diameter			
Length (cm.)	Kicks amplitude (Volt) for Solder Wire	Kicks amplitude (Volt) Aluminium Wire	Kicks amplitude (Volt) for CopperWire
67	5,50	5,80	5,10
57	6,75	6,20	5,40
47	7,00	6,00	5,20
37	7,40	6,00	5,80
27	7,00	6,90	5,80
17	6,75	5,75	5,40

Таблица 2

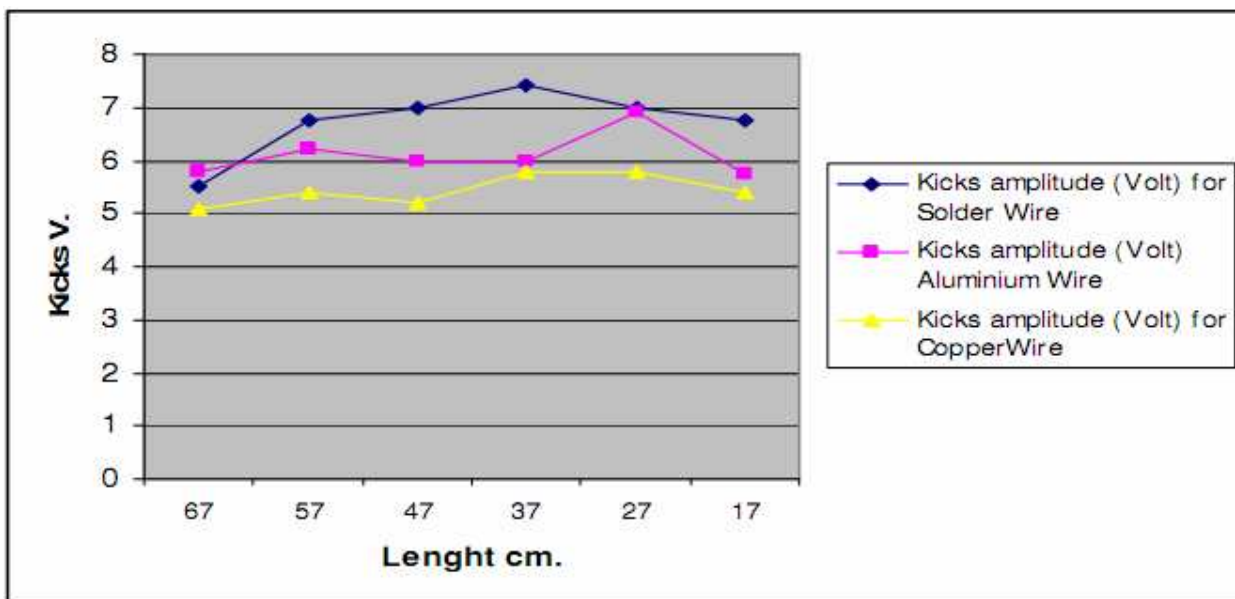


Диаграмма 2

При анализе таблиц становится ясно, что выходная амплитуда меняется в зависимости от длины и свойств материала. При этом лучшие результаты показал сплав (паяльная проволока) чем чистые металлы (алюминий, медь).

При обращении к таблицам 1 и 2 можно сделать следующий вывод, что максимальный скачек разности напряжения достигнут между двумя проводами коллектора. Изучив результаты, стало ясно, что необходимо оптимизировать СС катушку.

Происходило это в то время, когда ОТТО опубликовал свой пост на форуме «Overunity» в теме: «Wing approach design», о значении формы управляющей катушки индуктивности и практического подхода для реализации и позиционирования катушки индуктивности на коллекторе непосредственно.

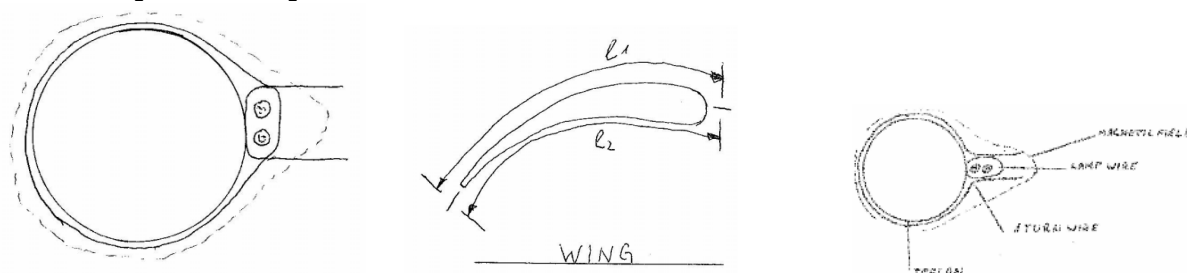


Рис.4 – Профиль крыла и позиционирование коллектора опции

Это - предложенные опции схемы размещения коллектора типа «lamp wire» непосредственно приклеенного на внутреннюю стенку тефлонового (силиконового) шланга диаметром около 1 см. Форма похожа на форму крыла со скоростью, увеличивающейся около позиции провода коллектора.

Предпочтительное решение увеличить скорость состоит в том, чтобы установить коллектор «lamp-wire» в горизонтальную позицию как показано на 3-ьем изображении (Рис4), но позиция на первом изображении также очень хороша.

Такая установка протестированная, при использовании только одной СС с частотой пульсации в диапазоне 1 - 10 Гц прямоугольными импульсами размахом в +12V дала очень хорошие результаты: получено вращающееся магнитное поле (проверено маленьким постоянным магнитом).

**Пожалуйста, будьте осторожны с этим видом катушек индуктивности, поскольку они обычно функционируют с высокой температурой - не дотрагивайтесь до них.**

### **3. Детали строительства**

#### **Двойная проволочная петля Мёбиуса диаметром 6"**

1. Эта петлевая катушка состоит (в демонстрационном модуле) из одного витка «лампа-провода» (два изолированных параллельных медных провода  $\varnothing 0.8\text{mm}$ ) это только для того, чтобы упростить сборку.
2. После отрезания корректной длины провода Вы должны подготовить эквивалентную длину силиконового шланга (или использовать любой другой шланг, способный выдержать температуру  $> 100^{\circ}\text{C}$ ), шланг диаметром 1 см служит для придания нужной формы «лампа-проводу» непосредственно.
3. Изогните силиконовый шланг в кольцо и зафиксируйте его, например, соединив его концы между собой при помощи деревянной вставки.
4. Затем приклейте к внутренней стороне сформированного нужным образом шланга «лампа-провод». В демонстрационном модуле мы приклеили «лампа-провод» к шлангу предварительно установив его в вертикальное положение (горизонтальное положение было бы предпочтительнее но более трудно сделать).

#### **Двойная проволочная петля Мёбиуса диаметром 4"**

Проделайте то же самое, с 4" модулем подобно тому, как Вы изготавливали 6" модуль, но на сей раз, конечно, Вы должны поместить «лампа-провод» на внешней стороне кольца. Это должно увеличить связь этих двух колец.

#### **Катушки управления**

Вы должны изготовить 3 катушки управления. Каждая СС является трансформатором, у которой есть первичная и вторичная обмотки. Чтобы намотать обмотку Вы, во-первых, должны изготовить подходящий каркас поддержки. Напомню, что у каркаса должно быть продольное внутреннее отверстие, соответствующего размера позволяющее продеть компоновку типа шланг Мёбиус + «лампа-провод».

Когда СС изготовлены, Вы должны будете разместить их на двойной петле типа Мёбиус на равных расстояниях друг от друга.

#### **Подведение итогов:**

- ширина каркаса СС: около 1".
- Первичная обмотка: длина провода 4.20 м.,  $\varnothing 0.5\text{mm}$  эмалированный медный провод.
- Вторичная обмотка: длина провода 10.50 м.,  $\varnothing 0.35\text{mm}$  эмалированный медный провод.

**ПРИМЕЧАНИЕ #1:** катушки индуктивности наматываются в два провода по часовой стрелке. Первичный провод первый достигнет конца намотки, поскольку он более короткий. Без затруднений Вы продолжаете наматывать вторичный провод до конца.

**ПРИМЕЧАНИЕ #2:** Каждая СС имеет начало и конец, отметьте на каркасе начало, метка на каркасе катушки позволит Вам всегда придерживаться одному и тому же самому правилу подключения (Смею предположить, что СС не будет скользить на петле Мёбиуса).

После того, как закончен монтаж двух «лампа-проводов», Вы должны поместить малый «лампа-провод» в большой и приступить к монтажным работам. На рисунке 8 Вы можете видеть, 6" установку (отметьте, что 6" кольцо временно разъединено для удобства монтажных работ).

**Подсказка:**

Для чтобы избежать ошибок, поступайте следующим образом:

1. Положите на свой верстак собранный петлевой 6" коллектор (1см шланг с приклеенным к нему «лампа-проводом»), оголите 4 конца проводов (приблизительно на 5 см).
2. Поместите собранный петлевой 4"-й коллектор во внутрь 6"-го коллектора предварительно удалив изоляцию с 4-х концов, проводов.
3. Подсоедините провода на левой стороне большой петли «лампа-провода наперекрест к концам проводов на левой стороне малой петли «лампа-провода».
4. Прodelайте ту же самую операцию с концами этих же «лампа-проводов» на правой стороне, при этом сделайте отводы для подсоединения лампы накаливания.

Вы сделали работу без ошибок!

#### 4. АНАЛИЗ ДТО СТИМУЛЯТОРА

После изучения ДТО стимулятора опубликованного на форуме «Overunity», благодаря которому некоторые точки действительно соединились вместе, и Отто нашел необходимым, сделать почти полное дублирование предложенного прибора. В отношении следующей схемы.

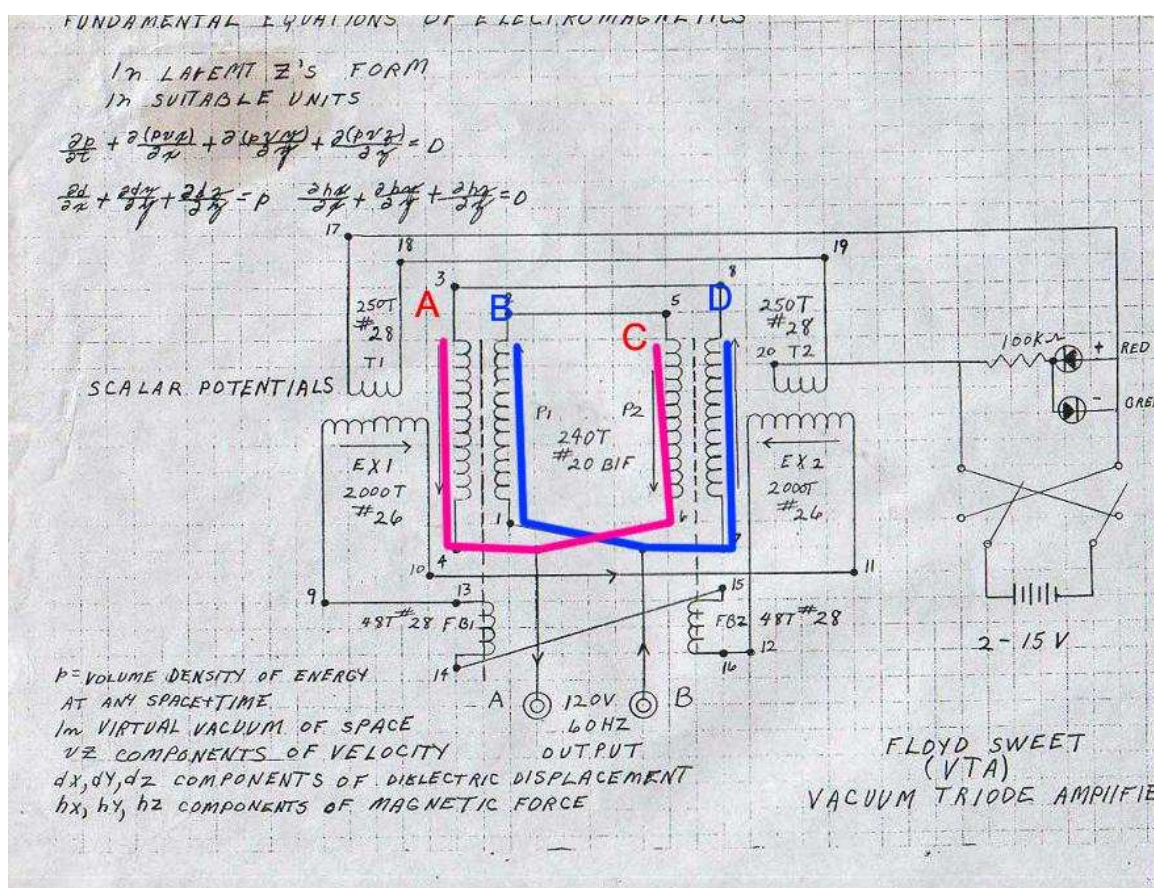


Рис.5 схема ДТО стимулятора опубликованная на<sup>3</sup>

Анализируя эти катушки индуктивности коллектора (A, B, C, D) становится ясным, что катушки индуктивности A+C могут быть изготовлены как одна катушка индуктивности (т.е. от лампы-провода) намотанная в два провода. Тоже самое справедливо и для катушек индуктивности B+D. Одна катушка, намотана в два провода ПО ЧАСОВОЙ СТРЕЛКЕ, другая ПРОТИВ ЧАСОВОЙ СТРЕЛКИ, непосредственно идея состояла в том, чтобы разместить каждую из этих удвоенных катушек индуктивности на кольце, а эти два круга, расположить в стеке один над другим или наоборот петлю меньшего диаметра разместить внутри петли большого диаметра.

<sup>3</sup><http://www.overunity.com/index.php/topic,2235.90.html>



Прежде, чем, что-либо разработать Отто попытался получить сигнал со стимулятора, но ничего на выходе не удалось получить. Естественно он озадачился вопросом, почему? Чтобы выяснить причины, Отто изготовил витую пару из проводников равной длины коллектора подобно тому, как изображено на Рис. 6.

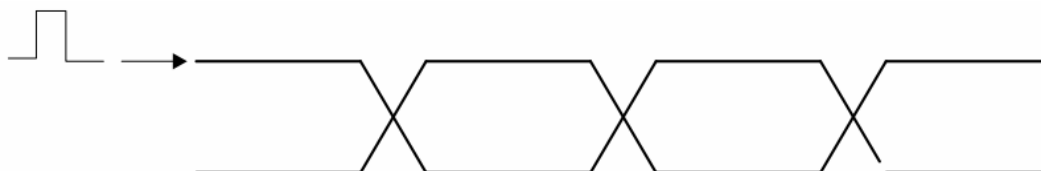


Рис. 6 витая пара

При подключении таким способом были получены намного лучшие результаты. После проведения теста стало ясно, что схема стимулятора была не работоспособна и два конца нужно, перекрестить, подобно тому, как изображено на Рис. 7:

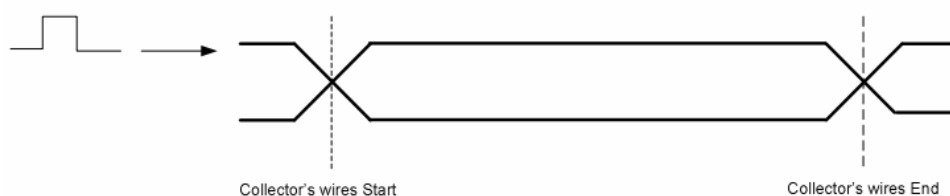


Рис. 7 корректное подключение

### Подведение итогов:

Напряжение питания стимулятора	Прямоугольные импульсы одной полярности, не фиксированной амплитуды
Катушки коллектора	Из одинарного провода стимулятор не работает, но работает с двумя параллельными проводами
Коллектор в 240 витков	Не обязательно
>2000 витков вторичная обмотка	Не обязательно
Железный сердечник	Не обязательно
Медный эмалированный провод	сплав обладает специальными свойствами

## 5. ПЕРВОЕ & ПОЛНАЯ КОНВЕРСИЯ СОБЫТИЙ

Надеясь получить как можно больше информации, я решил установить все 3 СС на 6" двойном кольце Мёбиус при двойном перекрещивании соединений лампа-проводов, как на рисунке.

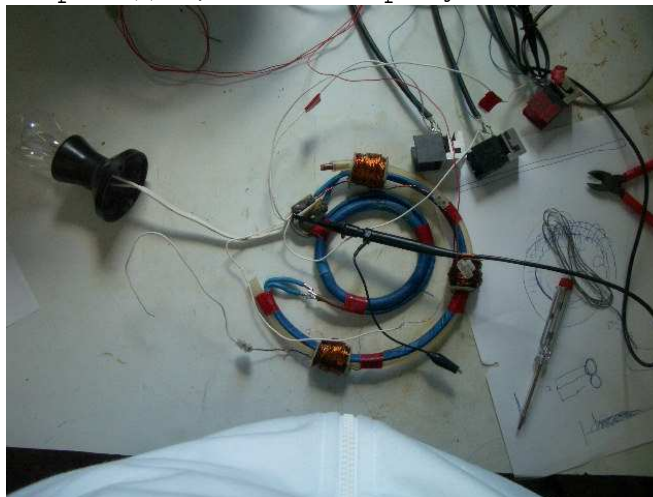


Рис. 8 Начальный тест

Основная ошибка не состояла в том, чтобы подключить подходящую нагрузку на выходные провода. Таким образом, я подал параллельно на 3 управляющие катушки импульсы 3-х разных частот, периодически комбинируя их соотношения. Стимулятор потреблял от PS 12В и около 2.5 – 3А. Я обнаружил, что все элементы были горячими.

### **ПОСТЕПЕННОЕ РАСПОЗНАНИЕ В НАГРОМОЖДЕНИИ ИЗ ИМПУЛЬСОВ КУСКОВ ЧИСТОГО СИНУСА С НЕБОЛЬШИМ ШУМОМ НА ВЕРШИНЕ ЭТИХ ИМПУЛЬСОВ**

На осциллограмме отображалось множество частей волн синуса, которые можно было распознать только благодаря природным способностям человеческого глаза к интегрированию. Попытался упорядочить эти нагромождения из импульсов, удалось осуществить эти преобразования с помощью 3-х генераторов. Превращения были очевидны, мгновенно проявился явный эффект перекачки энергии источника питания, с безупречным синхронизмом. Более того, мы продвинулись в преобразовании, обрывки импульсов преобразовались в полностью сформированные синусоидальные волны: Это означает, что для каждого выброса радиантной энергии вырезается какой-то вновь сформированный кусок синусоидальной волны, и таким образом, уменьшаются паразитные шумы. К концу завершения процесса остался только небольшой шум на вершине созданной синусоидальной волны. Напугавшись, мы изъяли все железные предметы из рабочей зоны.

Внезапно после небольшого изменения частоты генераторов проявился мощный перекачивающийся эффект с реставрацией энергии на источнике питания, с амплитудой напряжения на всю шкалу осциллографа в виде частоты Шумана, а индикатор потребляемого тока источника питания установился на отметке «0». На экране осциллографа сигнал напротив был абсолютно устойчив.

Перекачивающийся эффект длился около 7-10 секунд и затем прекратился. В итоге:

- Осциллограф полностью поврежден.
- Поврежден транзистор выходной каскада.
- P.S. не поврежден
- Не одна из защит на P.S. не сработала
- Защиты в рабочей зоне не сработали

Таким образом, Отто остался только с аналоговым тестером и с отверткой-индикатором фазы. Я обнаружил, что этот эффект возможен только при правильной коммутации Мёбиуса (Это случится только, при правильном подборе частот импульсов), с постоянным замером напряжения на выходных точках. По этой причине Отто стал маркировать упомянутые точки как «Фаза» и «Ноль».

Таким образом, стало ясно, что те же самые методы можно было применить, чтобы проверить катушки управления: проверьте неоновой отверткой на обеих сторонах соленоида небольшого трансформатора и вскоре обнаружите различные показания индикатора. Это означает, что различные процессы протекают на одном и том же самом проводе (подумайте об эквивалентной схеме пути DC ... все замкнуто проводом Мёбиус). Это также привело к необходимости, подключать отдельным способом каждый провод, чтобы избежать, перегрузки огромными токами источник питания.

Провода были разделены, просто в какой-то момент времени подумалось, а почему бы не развести кольца Мебиуса, относительно друг друга. После нескольких серий тестов было обнаружено, что для 6" ECD при смещении между собой колец по вертикали происходит увеличение напряжения на выходе устройства. Конечно же, оптимальным расстоянием является расстояние около 44 мм.

На данный момент выяснилось:

- 6" ECD является корректной формой
- 44 мм является корректным расстоянием по вертикали между двумя кольцами Мёбиуса.
- Что длина провода ECD была выбрана корректно.

Как и следовало ожидать, приводятся дополнительные данные для определения оптимальной длины коллектора.

## 5.1 КОЛЛЕКТОР – ТЕСТЫ С ПРОВОДАМИ ИЗ РАЗЛИЧНЫХ МЕТАЛЛОВ

Коллектор – тесты с проводами из различных металлов

Условия тестирования:

Катушка управления	<ul style="list-style-type: none"> <li>• Проволока Ø 0.3мм.</li> <li>• Количество витков-140</li> <li>• Ø катушки 21мм.</li> <li>• Способ намотки – 1 слой</li> </ul>
Длительность развертки осцил-фа	20микросекунд
Напряжение P.S.	12.5 Вольт
Используемые металлы	<ol style="list-style-type: none"> <li>1. Алюминиевая проволока</li> <li>2. Медная проволока</li> <li>3. Паяльная проволока</li> <li>4. Нержавеющая проволока</li> </ol>
Длина провода коллектора	67см

Установочный тест изображен на следующем рисунке. Для всех результатов (напряжение выхода соответственно в вольтах).

Наим. металлов	Пиковое напряжение (Ø провода 1мм)	Пиковое напряжение (Ø провода 2мм)
Al	13	
Cu	13	
нержавейка	16	
Паяльная проволока	23	21

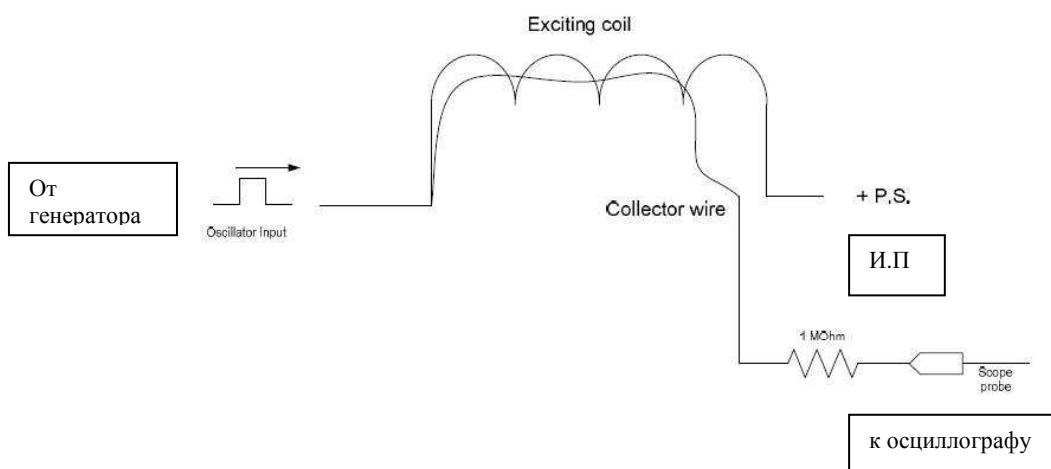


Рис 9 Коллекторная установка для тестирования

Вот пока и все, что нужно знать для рационального проектирования СС трансформатора.

## 5.2 ОПТИМИЗАЦИЯ ТРАНСФОРМАТОРА УПРАВЛЯЮЩЕЙ КАТУШКИ

### 5.2.1 Тесты первичной обмотки

Идея о свойствах проводов уже известна<sup>~</sup> (напоминаю, что показания значений пиковых напряжений должны интерпретироваться только как относительные, а не как абсолютные, так как были сняты осциллографом через последовательный резистор в 1 Мом)

-----

<sup>~</sup>Смотри таблицы 1,2

#### Тесты с различными металлами и длиной

Следующий тест был проведен подачей пульсирующего напряжения той же частоты подобно тому, как изображено на Рис 7 при этом только изменялось количество витков первичной обмотки катушки управления и материал коллектора. Значения выходного напряжения в Вольтах.

Металл проволоки	140 Вит.	130 вит	120 вит	110 вит	100 вит	90 вит	80 вит	70 вит	60 вит
Cu (1мм)	5.3	7.05	7	6.5	7.2	6.6	5.8	7.3	6.0
Al	6.1	7.2	6.95	6.6	6.6	5.8	6.3	6.2	6.5
Паяльная проволока	6.1	7.5	6.5	8.4	6.0	5.8	6.0	6.25	6.05

Таблица 4

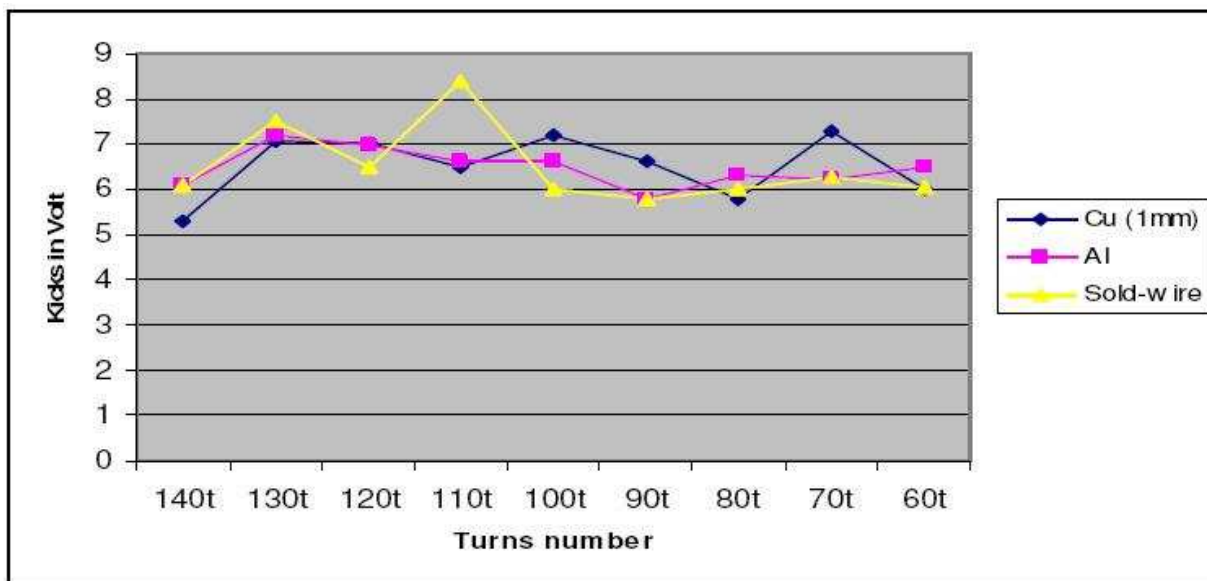


Диаграмма 3

Очевидно, что лучшие результаты для конкретной длины коллектора, остаются при использовании паяльной проволоки, но при этом нужно не забывать, что этот сплав обладает низкой температурой плавления. В связи с этим при ECD преобразовании может произойти разрушение коллектора.

Выявился и другой факт, что для синусоидальной формы сигнала имеет значения, что применяется, Al или Cu. Из этого следует, что необходимо посмотреть что рациональнее. Далее следует детальное исследование управляющих катушек - проверка со стороны первичной обмотки.

Условия тестирования:

Диаметр провода	0.5мм
Длина лампа-провода коллектора	47.8см
Установки Источника питания	12-13 Вольт
Диапазон рабочих частот	100-300Кгц

Длина провода (метры)	АС выход (Вольты)
7.00	49.00
6.80	50.00
6.60	50.00
6.40	51.00
6.20	51.00
6.00	53.00
5.80	55.00
5.60	56.00
5.40	56.00
5.20	57.00
5.00	57.00
4.80	58.00
4.75	58.00
4.70	59.00
4.65	59.00
4.60	59.00
4.55	59.50
4.50	59.5
4.45	59.5
4.40	60.0
4.35	60.0
4.30	60.5
4.25	61.0
4.20	61.0
4.15	61.0
4.10	60.5
4.05	60.5
4.00	60.5
3.95	60.0
3.90	60.0
3.80	59.5
3.70	58.0
3.60	58.0
3.50	57.5

Таблица 5

Лучшие результаты: 4.20-4.25м -> **61Вольт**

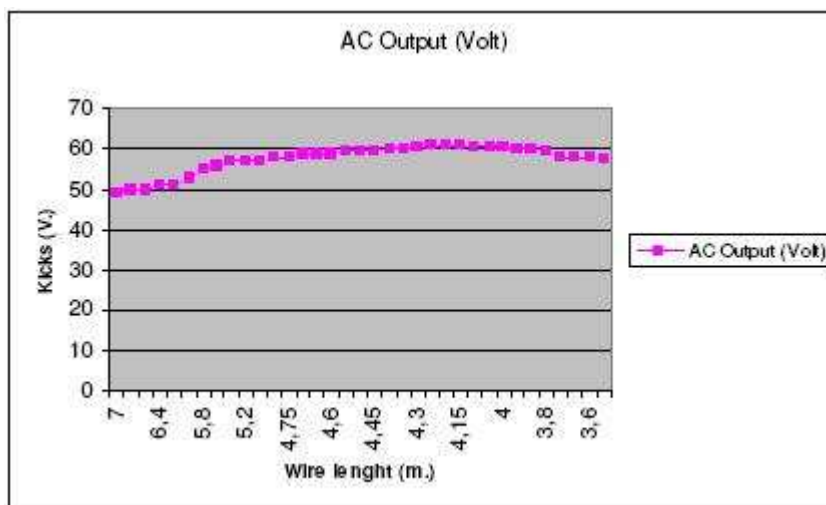


Диаграмма 4

Условия тестирования:

Диаметр провода	0.65мм
Длина лампа-провода коллектора	47.8см
Установки Источника питания	12-13 Вольт
Диапазон рабочих частот	100-300КГц

Wire Length (mt.)	AC Output (Volt)
6,85	47,00
6,65	47,00
6,45	48,00
6,25	49,00
6,05	50,00
5,85	51,00
5,65	52,00
5,45	54,00
5,25	55,00
5,05	55,00
4,85	55,00
4,65	55,00
4,55	55,00
4,45	56,00
4,40	56,00
4,35	57,0
4,30	57,5
4,25	58,0
4,20	58,0
4,15	57,0
4,10	57,5
4,05	56,5
4,00	56,5

Таблица 6

Лучшие результаты: 4.20-4.25 -> **58 Вольт**



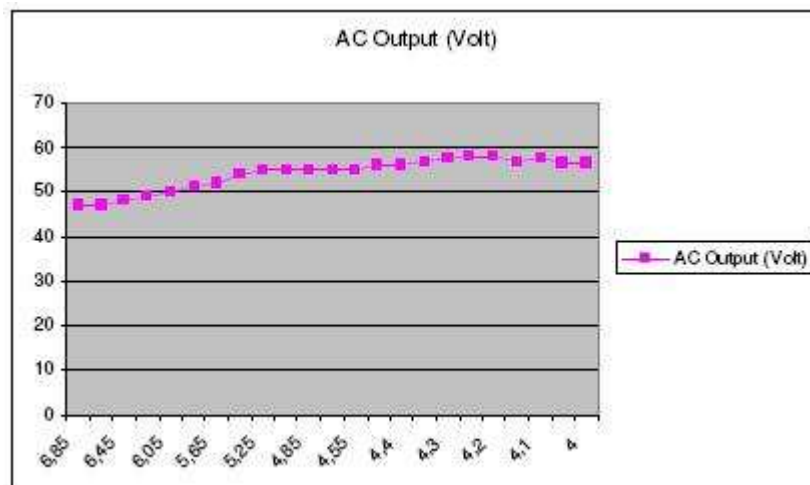


Диаграмма 5

Условия тестирования:

Диаметр провода	1 мм
Длина лампа-провода коллектора	47.8см
Установки Источника питания	12-13 Вольт
Диапазон рабочих частот	100-300КГц

Wire Length (mt.)	AC Output (Volt)
6,00	75,00
5,90	75,00
5,80	75,00
5,70	77,00
5,60	77,00
5,50	78,00
5,40	79,00
5,30	80,00
5,20	80,00
5,10	80,00
5,00	80,00
4,90	81,00
4,80	82,00
4,70	83,00
4,60	83,00
4,50	83,00
4,40	84,00
4,30	85,00
4,20	85,00
4,10	83,00
4,00	82,00
3,90	81,00
3,80	80,00
3,70	80,00
3,60	80,00
3,50	80,00
3,40	80,00
3,30	80,00
3,20	80,00
3,10	81,00
3,00	82,00
2,90	83,00
2,80	83,00
2,70	82,00
2,60	81,00
2,50	81,00
2,40	81,00
2,30	81,00
2,20	80,00
2,10	79,00
2,00	78,00
1,90	77,00

Таблица 7

Лучший результат: 4.20-4.30м -> **85Вольт**

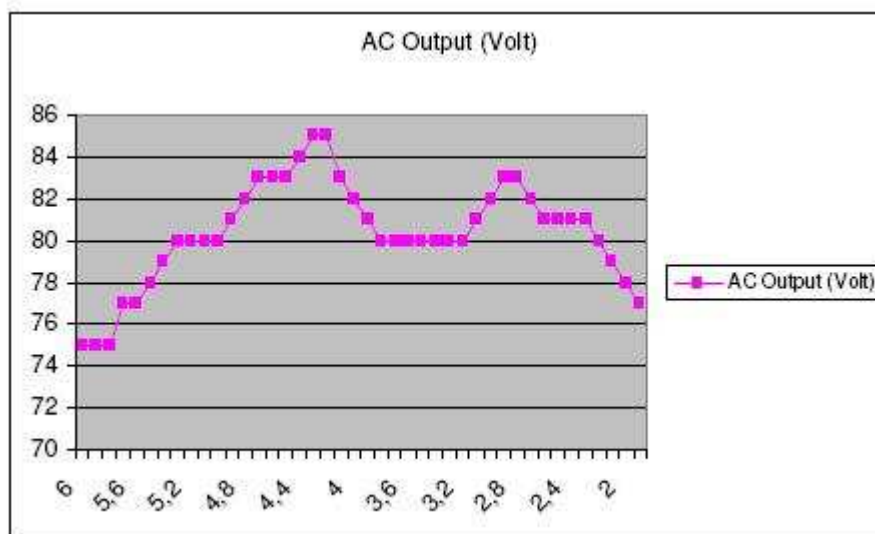


Диаграмма 6

**Обобщенные результаты с различной длиной и размером провода, пик приходится на длину 4.2-4.3 метра для диаметров от 0.5 до 1мм.**

Отметим что, как ранее было сказано, что все проверки были сделаны с той же самой выбранной частотой в диапазоне 100-200 Кгц определяемой по максимальному свечению лампы.

### 5.2.2 Тесты вторичной обмотки

Тестирование осуществлялось, используя те же самые упомянутые условия. Преследуемые цели:

1. Определение оптимального количества витков для достижения лучших результатов.
2. Определение корректного размера провода для достижения лучших результатов.
3. Определение лучшего способа намотки для достижения лучших результатов.
4. Инспектирование на предмет выявления любых необычных условий.
5. Выявление, необходимости применения методов используемых для намотки высокочастотных катушек индуктивности.
6. Выявление, обязательности применения катушки выполненной в форме крыла.

#### Пункт #1 и 2

После проведения многократных тестов, анализ результатов тестов сведенных в нижеследующие таблицы показал, что напряжение выхода изменяется не значительно от количества витков во вторичной обмотке. Поэтому тесты были проведены для определения, в конечном счете точки при которой достигается максимальное свечение лампы при минимальном токе потребления.

Условия тестирования:

Первичный провод	0.65 мм., 4.20м
Вторичный провод	0.35мм., 16м
Длина лампа-провода коллектора	47.8см
Установки Источника питания	12-13 Вольт
Диапазон рабочих частот	100-300КГц

Wire Length (mt.)	AC Output (Volt)
16,00	160,00
15,80	160,00
15,60	160,00
15,40	160,00
15,20	160,00
15,00	161,00
14,80	161,00
14,60	162,00
14,40	165,00
14,20	166,00
14,00	169,00
13,80	170,00
13,60	170,00
13,40	170,00
13,20	163,00
13,00	170,00
12,80	170,00
12,60	170,00
12,40	170,00
12,20	170,00
12,00	170,00
11,80	170,00
11,60	170,00
11,40	170,00
11,20	170,00
11,00	170,00
10,80	170,00
10,40	170,00

10,20	170,00
10,00	170,00
9,80	170,00
9,60	170,00
9,40	170,00
9,20	162,00
9,00	160,00
8,80	158,00
8,60	153,00
8,40	150,00
8,20	145,00
8,00	140,00
7,80	136,00
7,60	130,00
7,40	125,00
7,20	120,00
7,00	115,00
6,80	110,00
6,60	105,00
6,40	100,00
6,20	97,00
6,00	94,00
5,80	91,00
5,60	88,00
5,40	84,00
5,20	80,00
5,00	75,00

Таблица 8

Лучший результат: 4.40-13.00м -> **170Вольт**

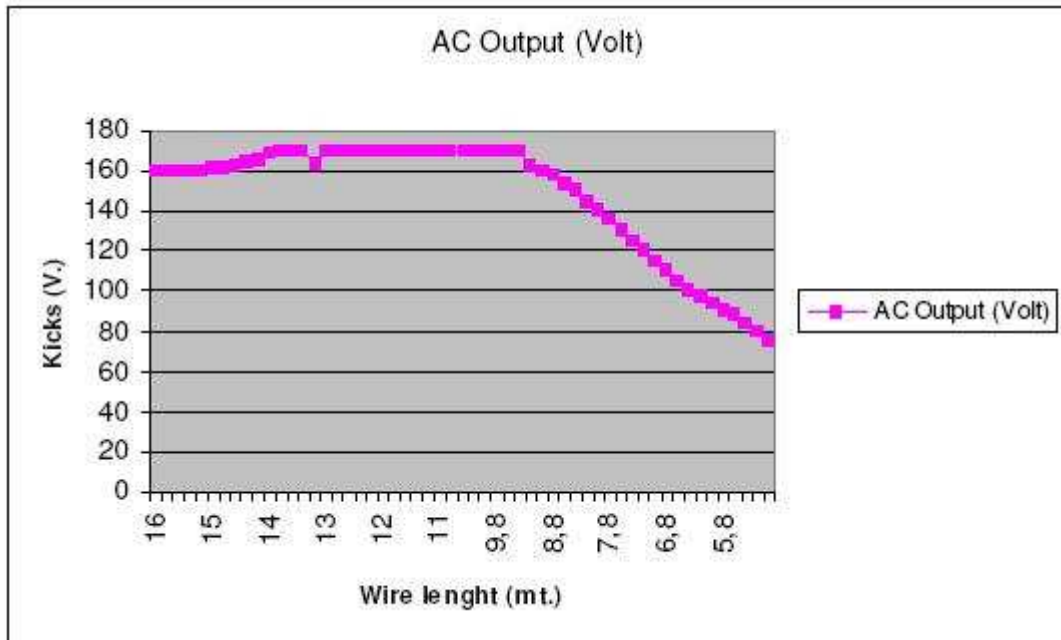


Диаграмма 7

**Пункт #3**

Первая попытка состояла в том, что бы намотать 50 витков провода на двух пальцах и эту дополнительную отдельную катушку симулировать только как вторичную катушку, для того чтобы осуществить идею выхода. Лампочка (25W) была подсоединена одним концом к (+12В) источнику питания, а другим концом к соединительному проводу.

Во-первых, с катушками так или иначе разделенными, лампочка засветилась ярко, затем внезапно она погасла. Свет был восстановлен только после прижатия двух катушек вместе. Сейчас стало ясно, что необходимо изготовить корректно намотанный трансформатор (х-формер): разместив как можно ближе друг к другу провода вторичной и первичной обмотки. Конечно, лучший доступный метод, это намотать трансформатор в два провода.

Возможно, что самый передовой метод это использовать многожильный провод с не менее чем 40-ка изолированными жилами, а секции собственно этой катушки представляли бы собой. Вертикально намотанные катушки позволяющие уменьшить межвитковую емкость и, следовательно, получить более широкий диапазон рабочих частот, которой мог привести в нашем случае к более быстрому ответу и соответственно к большим выбросам энергии PE.

**Пункт #4**

Из предыдущих тестов мы определили наилучшую длину около 4.20м провода и коэффициент трансформации 1:1. Попытка использовать другой коэффициент трансформации как 1:2, 1:3, 1:4-----1:7 ни к чему не привела, таким образом, ясно, что что-то еще необходимо предпринять. Нам кажется что, при использовании более высоких коэффициентов трансформации при увеличивающейся длине провода приводит к увеличению межвитковой емкости, которая таким образом снижает быстродействие соленоида. Ясно, что мы должны выбрать правильные значения из ранее приведенных таблиц.

**Пункт #5**

Может возникнуть желание: почему бы не попытаться резонировать соленоиды? Наш ответ: нет никакой необходимости резонировать соленоиды, поскольку мы это уже выяснили и все оптимизировали для быстродействующих и нелинейных процессов.

**Пункт #6**

Многочисленные проведенные тесты выявили, что поддерживающий каркас катушки в виде крыла лучше для использования в наших целях.

### 5.3 МЁБИУС ОСНОВА ECD - ИСЛЕДОВАНИЯ

Рассматривая DTO (Диаманитный торсионный генератор) стимулятор изображенный на Рис. 5 (это устройство было размещено на форуме Overunity) Отто, во-первых, почувствовал, что это хорошее устройство для наших целей. Многие из описанных характеристик действительно были когерентны со многими из наших усилий, предпринятых для повторения конструкции CM, но как ранее было отмечено, требовались некоторые доработки в рамках TPU проекта. В этой связи:

1. Катушка без железного сердечника
2. Пульсирующий подвод постоянного тока, вместо того чтобы использовать фиксированный постоянный ток.
3. Использование только одного витка для коллектора.
4. Использование на много меньше количества провода на вторичных катушках, это потому что мы при этом не заметили изменений в скорости срабатывания при работе трансформатора.
5. Рассматривая перекрестную взаимосвязь катушек, мы заметили, что они напоминают хорошо известную схему Мёбиуса, так посмотрите на рис. 5 и 6 с помощью четырех перекрещиваний не возможно получить какой-либо выход энергии. В последующих тестах было использовано 2 перекрещивания и это было оправдано, получена выходная энергия. Также возникла идея использовать коллектор из двух Мёбиусов вместо использования одного и посмотреть, что из этого должно получиться. **В финале и фактически используется установка, состоящая из: 2-х петель Мёбиуса перекрещенных дважды.** Эта установка 6" - 4" ECD изображена на следующем рисунке. На рисунке вы заметите: Две Мёбиус петли вставленные одна в другую (приклеенные к стороне силиконового шланга используемого для фиксирования формы петель коллектора). 3 маленьких трансформатора размещенных на равном расстоянии друг от друга под 120°. Радиаторы и MOSFET транзисторы размещены недалеко от петель Мёбиуса, крыло сформировано как конструктивное решение для фиксации катушек.

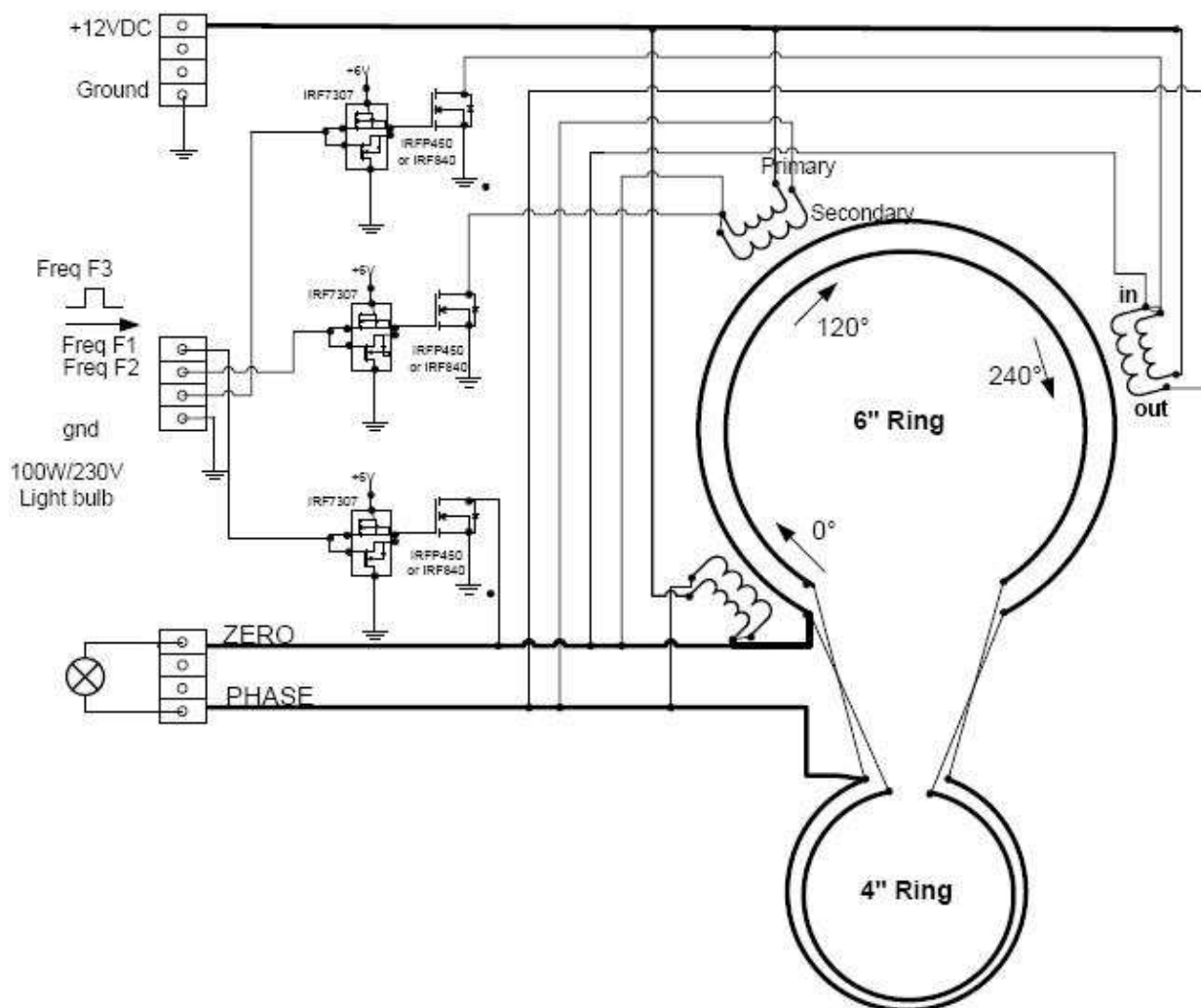




Рис. 10 Финальные 6" две Мёбиус катушки  
дважды крестом – соединенные

Далее представляем действующий финальный проект, на который мы будем ссылаться во второй части данного технического описания, изображающий 2-ва отдельных Мёбиус контура, фактически малый (4" размера) контур должен вращаться внутри большого контура (6" размера) подобно тому, как изображено на Рис. 8 там должно быть межсоединение между контурами. Конечно, фактически лампа-провод коллектор должен быть помещен на внутренней стороне большого силиконового шланга и на внешней стороне меньшего силиконового шланга 4" коллектора, чтобы адекватно осуществить внутреннее межсоединение.

Вновь хочу повторить, как было ранее сказано 6" контур должен быть также установлен в позиции выше малого контура точно на расстоянии 44мм, с целью получить дополнительную выходную мощность.



Title		Revision: 1.0		Note#1: The 4" ring must be routed into the 6" ring. Note#2: the two Rings are built using standard lamp-wire i.e you can use any parallel-run kind of wires. Note#3 CC transformer coils are built according the study in this document. Note#4: the CC transformers are pulsed in a CW direction (in>out), they should be pulsed CCW.
ECD Mobius diagram		R	DATE	
DATE REVISION	APPROV	VERIFICATO	DRAWN/TESTO	
08.06.2007		ronotte	ronotte	

Диаграмма 8 Финальная ECD установка

Эта установка может показаться немного странной, как будто Вы смотрите на эквивалентную схему постоянного тока: все соединено вместе. Это может быть вводящим в заблуждение фактом. Фактически это устройство обладает комплексным взаимодействием и в настоящее время не так явно проявляемым.

Факт заключается в том, что если Вы подсоедините к нагрузке (лампочка 100Ватт/230В) два осциллографа, (как Вам будет показано во второй части этого документа). Вы обнаружите замешанные вместе: фиксированный DC уровень, импульсы DC прямоугольной формы, выбросы RE также суммирующие друг друга на набегающем краю импульса, куски чистого переменного тока или полностью сформированного в первом квадранте, а также помехи в виде шума.

Если вы посмотрите на диаграмму 8, то обнаружите, что три входных импульса прямоугольной частоты объединяются вместе, как я называю в «проволочной заглушке». В этой связи с этого момента этот сетевой сигнал на этих катушках определен как логическая земля 3-х синхронных форм волны. Конечно, таким образом, работающая форма волны не из детерминированного вида.

По моему мнению, следующий шаг, это засинхронизировать частоты, что будет легко осуществить, используя весь арсенал технических регулировок, не говоря о мощности. Из диаграммы видно, что СС катушки соединены параллельным способом в направлении, что все выводные провода вторичных обмоток катушек соединены параллельно к двум точкам обозначенным как: 'НОЛЬ' и 'ФАЗА'.

В дальнейшем Вы увидите, что некоторые тесты были проведены так же при последовательном соединении вторичных обмоток СС катушек.

**Следующий пункт:** как вы видите на СС катушки, подается пульсирующее поле по часовой стрелке, фактически можно было осуществить пульсирующее поле и против часовой стрелки, но не было времени осуществить это. Все испытания, описанные во второй части документа, осуществлялись на раннее изображенной установке с катушками, в которых пульсирующее поле вращается по часовой стрелке.

Детализированные предложения по конструкции Осциллятора будут добавлены позже. На данный момент MOSFET драйвинг нужно считать более важным, все детали об этом можно будет прочитать в документе Роберто Ноутт «2magclashTPU.pdf» свободно доступном на форуме Overunity.com.~

#### **Замечание :**

Не пытайтесь подсоединять силовые МОП-транзисторы непосредственно к вашему генератору (если Вы уверены, что они действительно способны переключаться в наносекундном режиме, и обладают подходящим низким импедансом и соответствующей мощностью). Вообще обычно, кажется, что они работают, но фактически он не в состоянии зарядить как нужно емкостной затвор МОП-транзистора, они действительно работают ..., но очень медленно (так как они не входят в лавинный режим), ... в связи с этим нет никакой возможности получить результаты, что описаны в этой главе.

---

~ [www.overunity.com/index.php?topic=2240.msg33606](http://www.overunity.com/index.php?topic=2240.msg33606) - 2magclashtpu-V1\_3\_2\_1.pdf

**ЧАСТЬ ВТОРАЯ**

***ECD,  
ТЕСТИРОВАНИЕ & ПОНИМАНИЕ***

***Роберто Ноутт  
&  
Отто Саблярис***

## 6. ВВЕДЕНИЕ

После случая полного преобразования, который привел к повреждению почти всего оборудования Отто, конечно возникла, остановка из-за невозможности сделать что-нибудь. В это же самое время Роберто Ноутт связался с Отто Саблярис и вскоре он пришел в лабораторию Отто и в течение 7 дней помогал ему в закреплении поврежденного оборудования и проработал вместе с ним до полного завершения всех тестов.

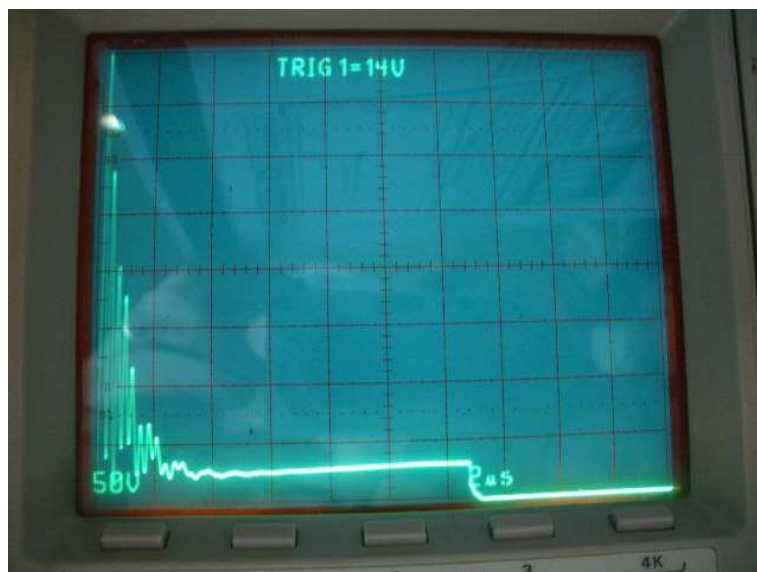
Высказанная философия, объединяющая два различных способа мышления, действительно к нашему большому удивлению, дала нам возможность увидеть много фундаментальных аспектов до сих пор ни кем не замеченных и почти полное понимание, по крайней мере, тех явлений, которые разыгрались перед нашими глазами. Этот вид сотрудничества оказался также полезным для ускорения всей испытательной работы. Мы были взволнованы и работали день и ночь по графику пока не получили требуемые результаты /документацию.

То, что за этими строками следует, является полностью живущей регистрацией о серии тестов и примененных методов приводящих к полному пониманию событий. Вы также увидите, что во время проведения тестов мы наткнулись на несколько дополнительных прорывов.

### 6.1 Тесты с 2-мя последовательно соединенными вторичными обмотками СС

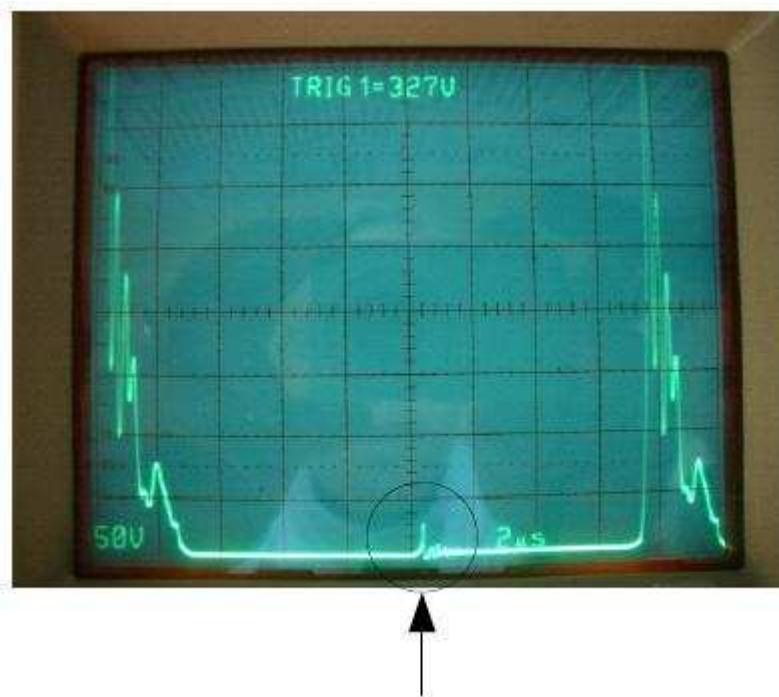
Партия#1	
Дата	05.31.2007
Начало теста	9:53 AM
СС	Две вторичных обмотки последовательно соединены
Частота	F=1,2

Эта партия началась в 9.53 AM с F1=40Кгц. Замер производился при установке щупа осциллографа на шине 'НОЛЬ', Лампочка 60W/230V была подсоединена между НОЛЕМ и ФАЗОЙ. Нулевой уровень осциллографа установлен на нижней линии ЭЛТ. Температура СС около 40°C.



**Рис.11 Резюмирующий пик RE на нарастающем фронте импульса**

На этой картинке (11) очевидно, что выбросы RE (около 400V Макс) разместились на вершине нарастающего фронта импульса длящиеся около 2мксек и частично суммирующие сами себя.

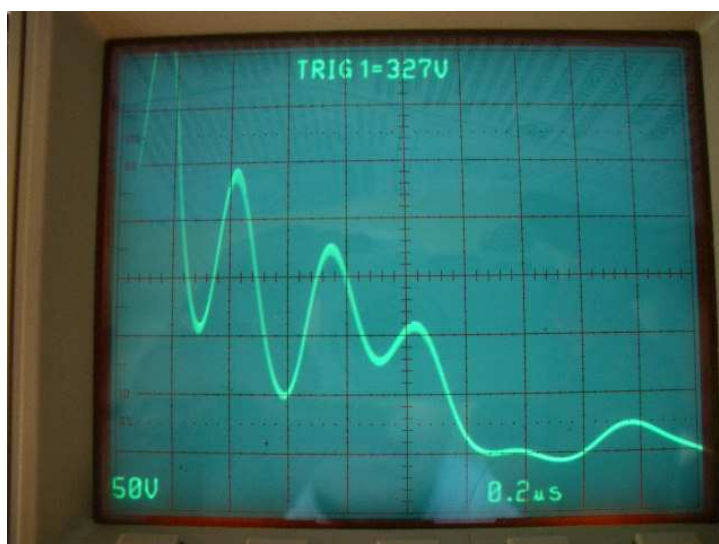


**Рис. 11 НУЛЕВАЯ шина - Резюмирующий пик RE на нарастающем фронте импульса с 2 част.**

На рис 12 пульсировали 2-е катушки СС с помощью 2-х частот, показания снимались осциллографом на Стоке MOSFET транзистора,

Нулевой уровень осциллографа установлен на нижней линии ЭЛТ, температура СС около 50°C. Это проявилось в том, что амплитуда главного пика RE увеличилась приблизительно до +500В (с зашкаливанием на экране ЭЛТ) и эффект суммирования выбросов RE проявился более сильно.

Пожалуйста, посмотрите на артефакт на нулевой линии развертки осциллографа: Как Вы думаете, что это? Вначале мы подумали, что это были только электромагнитные помехи. Позже я покажу значение ... секрета этого Временного пробоя.

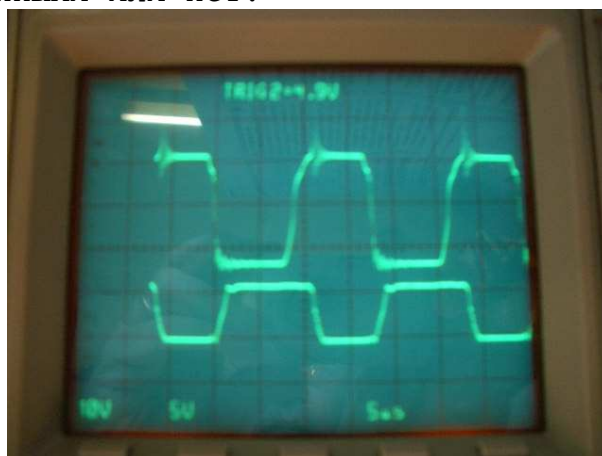


**Рис. 13 фото с увеличенной разверткой осциллографа, резюмирующих пиков RE изображенных ранее на рис. 11**

Здесь Вы можете увидеть больше информации о выбросах RE:

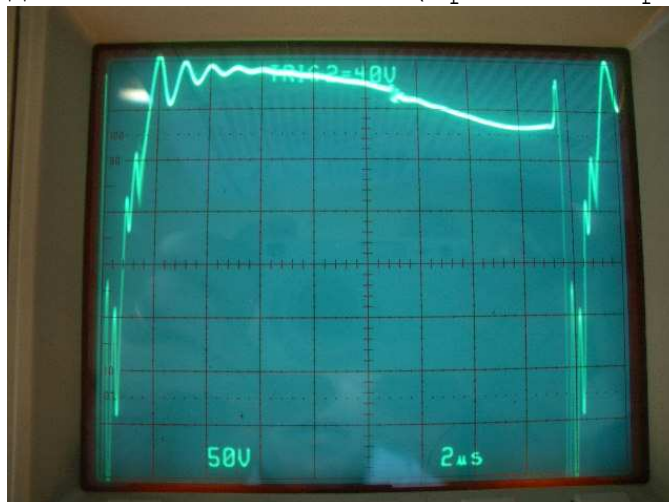
- Суммирование пиков очевидно
- Резонанс составляет приблизительно 3.3 МГц. Это отражается в виде типично снятой формы NMR волны с 4 – 6 осцилляциями.

Что из этого следует, сигнал фактически появился на обоих затворах MOSFET транзисторов, они действительно кажутся засинхронизированными или нет.



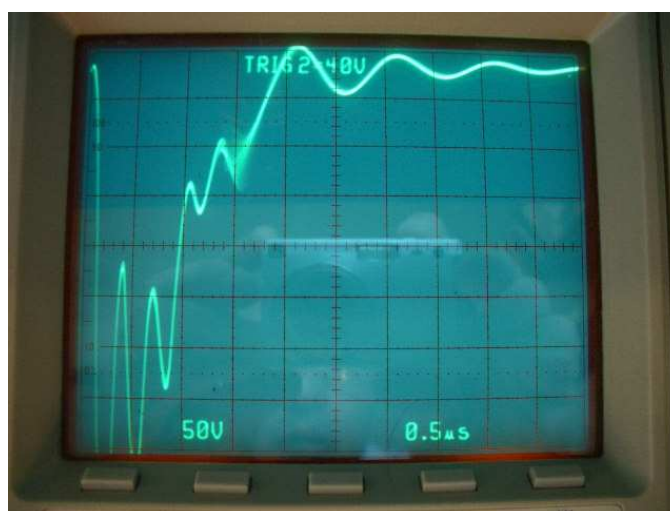
**Рис.14 сигналы на затворах МОП-транзисторов**

Следующие рисунки (15, 16), сфотографированы после подключения щупа осциллографа к шине 'ФАЗА', нулевая линия развертки осциллографа установлена на вершине экрана ЭЛТ. Все волновые импульсы в этом случае в 4-ом квадранте (все отрицательные) и симметричны, но, так или иначе, отличаются от замера проведенного на шине НОЛЬ (сравните с рис. 11).



**Рис. 15 шина ФАЗА – Резюмирующий пик RE на нарастающем фронте импульса с 2 част.**

Полная амплитуда около -500V, и соединяющая линия между пиками не очень прямая но ...при старте формируется, что-то напоминающее синусоидальную форму волны. Пожалуйста, обратите внимание на маленький артефакт на центре синуса. На рис. 16 изображены выбросы на пике прямоугольного импульса, этот импульс из серии импульсов, что были изображены на рис14, но только с увеличенной разверткой.



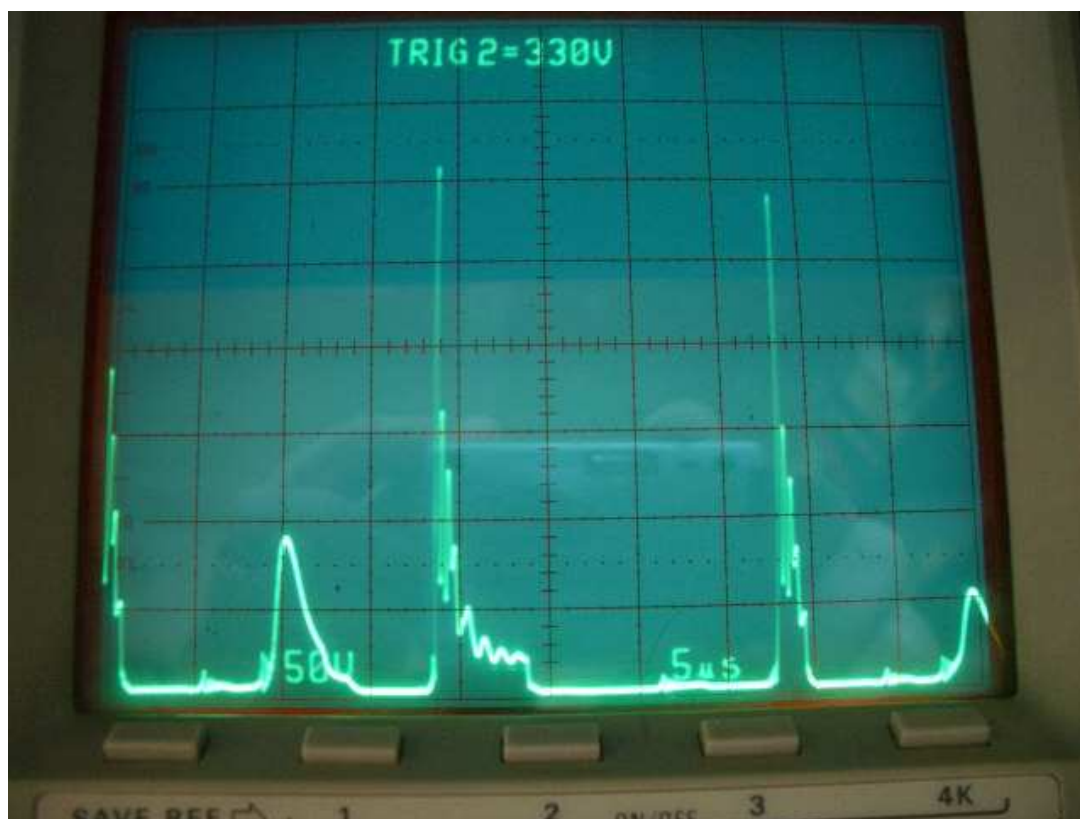
**Рис. 16 расширенная развертка рис.14**



<b>Партия#2</b>	
Дата	05.31.2007
Начало теста	11:12 AM
СС	Две вторичных обмотки последовательно соединены
Частота	F=1, 2, 3

Позвольте нам теперь использовать 3 управляемых частоты (на обе СС подаются 3 частоты), а так же подключим щуп осциллографа к НУЛЕВОЙ шине. Нулевую линию развертки установим в нижней части ЭЛТ.

**Это изображение фундаментально, пожалуйста, уделите ему внимание, которого оно заслуживает.**



**Рис. 17 старт процесса конверсии**

Данные, которые мы обнаружили в результате последних тестов, должны быть, как-то интерпретированы:

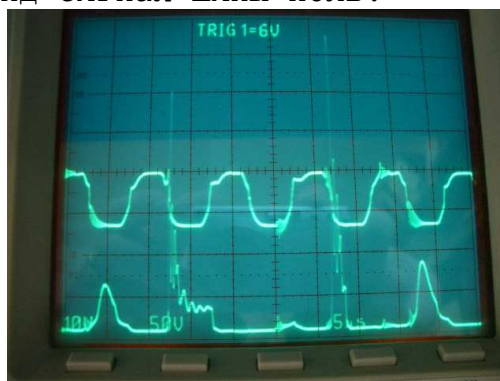
1. Легко увидеть, формирующийся на левой части первой RE «специальный пик», сопровождаемый маленьким артефактом, который с этого момента времени мы назовем «Сиид».

2. есть другой «Сиид» только в начальной части синусоидальной волны; этот «Сиид» ФОРМИРУЕТ часть синуса!! В этом процессе (это не возможно показать на одиночном кадре, но легко увидеть в видео ряде) «Сиид» формирует всплеск одиночного «специального пика», который в этом же самом месте посредством его преобразуется в часть (около +100V) синусоидальной формы волны. Это кажется невероятным, но поверьте мне: это было право настолько показательно разворачивающееся перед нашими глазами.

3. Далее DC импульс +RE выбросы и затем вновь один «Сиид» сопровождаемый «специальным пиком», который мог быть преобразован только регулировкой генератора с изменением частоты F2. Варьируя частотой F2, мы фактически сдвигаем слева направо этот «Сиид».

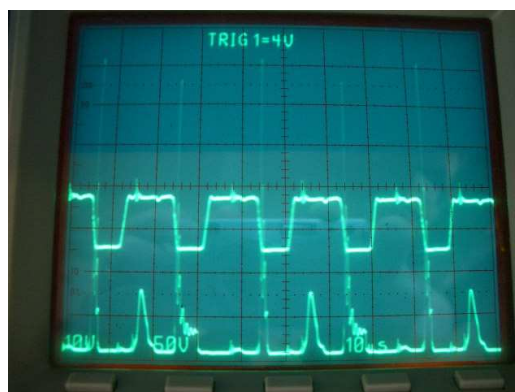
4. Затем другой «Сиид» и другой «Сиид», осуществляющий другое преобразование (в конце правой части экрана).

Здесь на следующем другом изображении изображены сигналы максимально используемой нами частоты, верхний тренд это сигнал затвора нижний тренд сигнал шины НОЛЬ.



**Рис. 18 временное соотношение между НОЛЕМ и F3**

Далее, это другой пример преобразования (каждые 4-ре входных цикла).



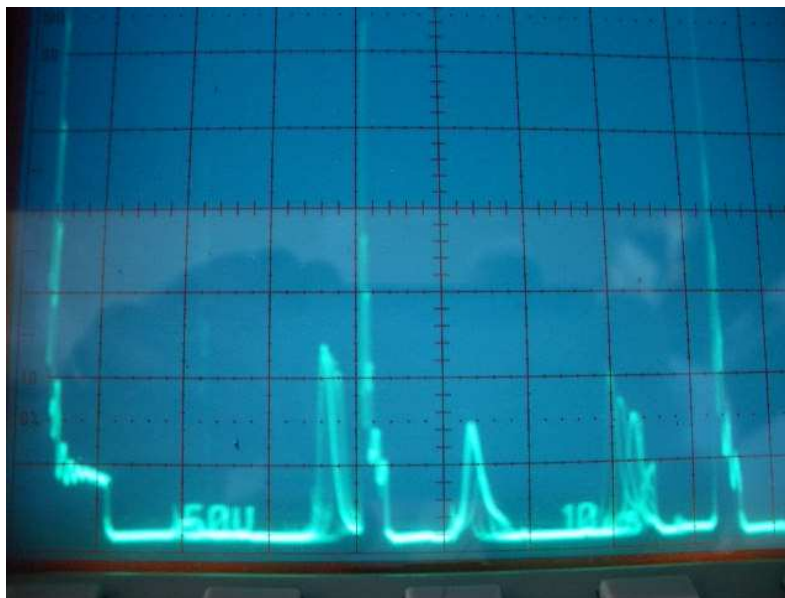
**Рис 19 временное соотношение между НОЛЕМ и F3**

В этом случае мы имеем превращение каждые 3 входных цикла.

Подведение итогов:

Кажется, что мы осуществляем частичное Преобразование энергии в чистую синусоидальную волну каждые 3 или 4 входных цикла.

Смотря на следующее изображение, мы можем видеть 3 части частично преобразованные синусоидальные формы волны, замеренные на НОЛЬ шине.



**Рис. 20 Детальное формирование синуса**

Вы можете видеть слева на право что:

1. На 35мксек от левого края экрана почти полностью сформирован большой синус, который пытается сформироваться недалеко от «специального пика» (получился большой и по большей части сформированный ...), пик синуса амплитудой  $> +110V$  ( нулевая DC линия развертки в нижней части ЭЛТ).

2. на 60-ой мксек опять сформировался синус ,

3. на 80-ой мксек есть ясная индикация нового синуса, сформированного «Сидом» с левой стороны (недалеко от стартовой точки синуса). Конечно, изображение размыто

Ну, как уж есть в данном разрабатываемом проекте, да и синхронизация осциллографа не в состоянии осуществить синхрозахват!

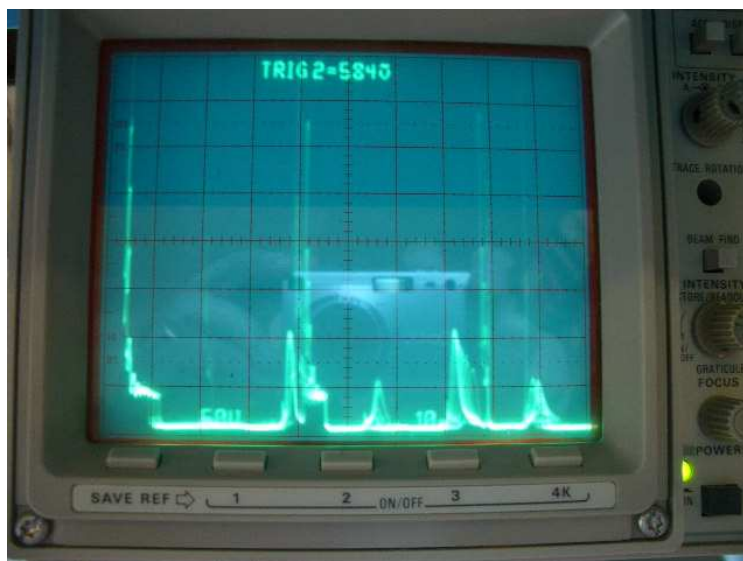
В этом случае использовались 3 входных частоты:

$$F1 = 27.77 \text{ КГц}$$

$$F2 = 60.606 \text{ КГц}$$

$$F3 = 52\ 631 \text{ КГц}$$

Далее Вы можете увидеть, что более тонкая настройка частот приводит к следующему изображению.



**Рис.21 3 сформированных синуса**

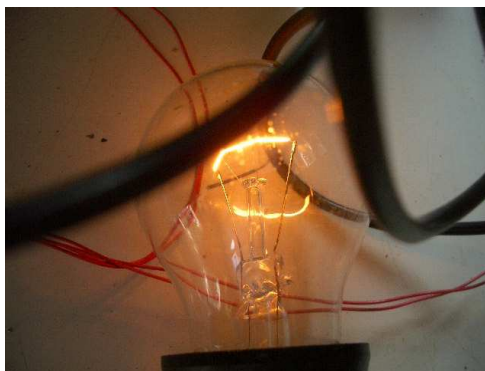
В этом изображении Вы можете видеть 4-ре синусоидальных волны в различном режиме создания: 2-ве хорошо сформировались, а 2-ве в процессе формирования. Произведены дополнительные частотные регулировки.



**Рис.22 Пиковое слияние**

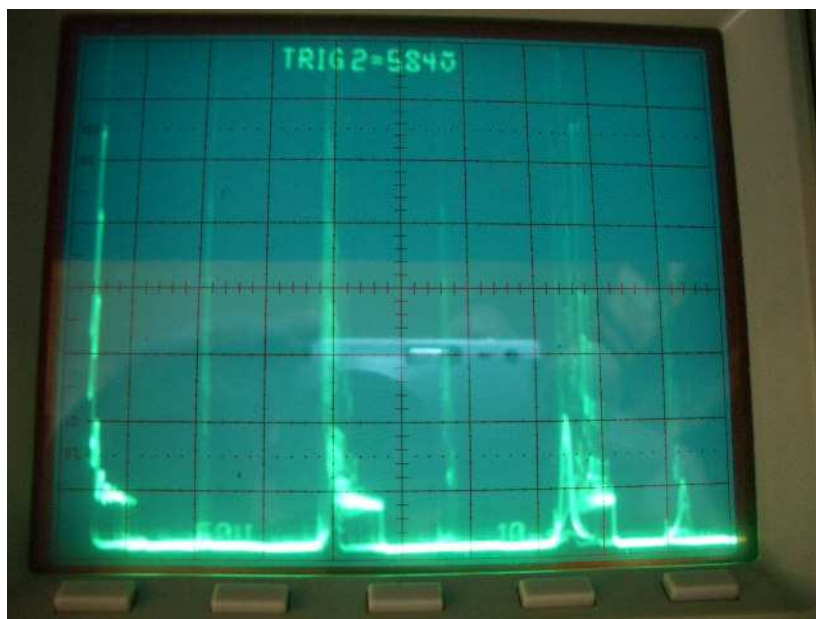
Кажется, что синусоидальная волна очень близкая ко второму пику, как бы встраивается в него.

В этот момент вспыхивает свет на 100W/230V лампочке.



**Рис. 23 Лампочка 100Ватт/230Вольт**

После вновь дополнительной регулировки 3-х частот мы получаем следующую ситуацию.

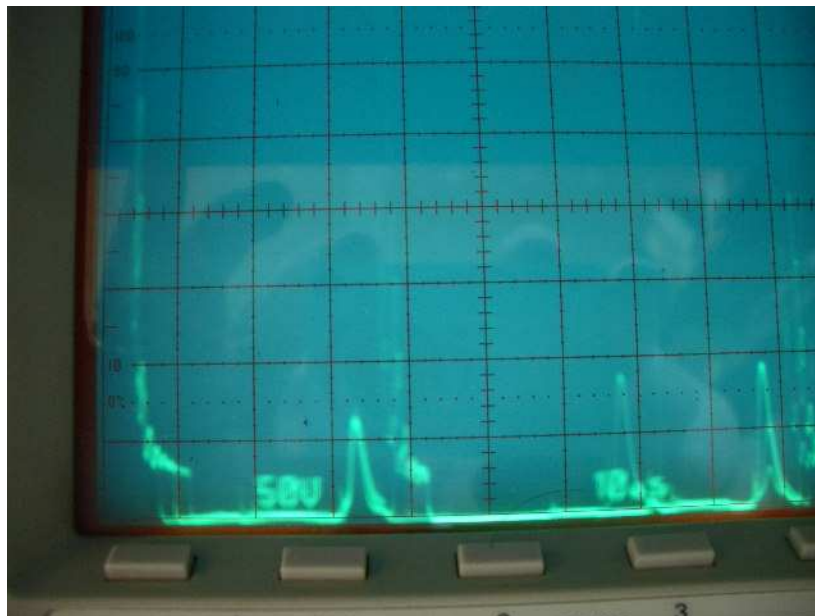


**Рис. 24 Синусоидальные волны, включающие пики**

Кажется что:

1. первая синусоидальная волна присоединилась ко второму выбросу,
2. вторая синусоидальная волна теперь около 3-ьего выброса,
3. мы действительно видим 'перекачивающий' эффект на аналоговом измерительном приборе постоянного напряжения (напряжение повышается и падает от +12 до +21V с частотой Шумана).

Продолжая усовершенствовать параметры настройки 3-х частот, когда Мы находились недалеко от желанной корректной точки, мы заметили, что напряжение на PS стабилизировалось и вернулось к нормальному уровню (+12V).



**Рис. 25**

Теперь мы ясно видим, что есть действительно устойчивая синусоидальная волна не далеко от второго выброса и не далеко от 3-ьего выброса и только стартовая другая синусоидальная волна между вторым и 3-им выбросом.

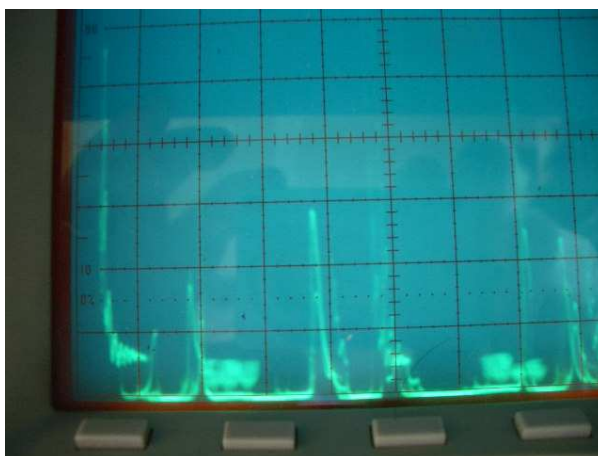
**ТАКИМ ОБРАЗОМ, У НАС, НАКОНЕЦ, ЕСТЬ БОЛЕЕ ЧЕМ 100V  
СИНУСОИДАЛЬНЫХ ВОЛН, ИСПОЛЬЗУЯ ТОЛЬКО 2 СС КАТУШКИ**

Вот сияющая лампочка



**Рис.26 сияющая 100Ватная лампочка,  
зажженная 2-мя катушками**

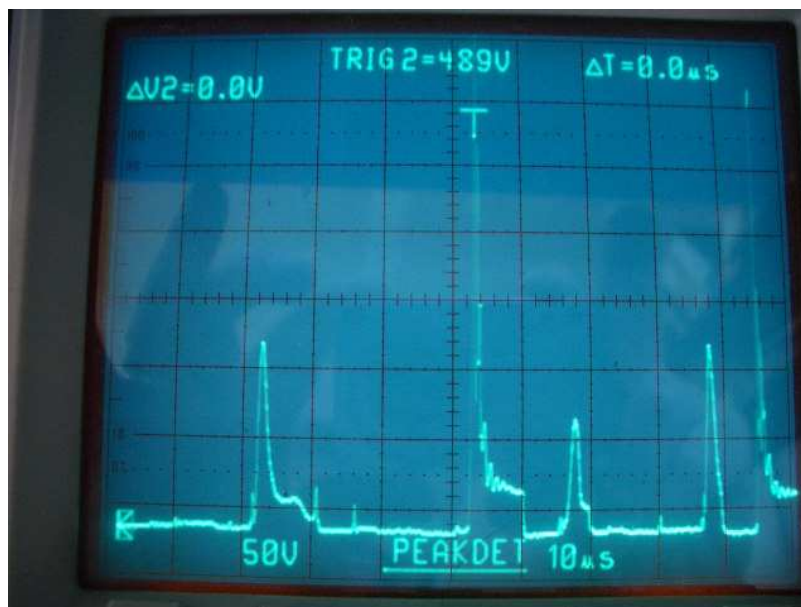
На следующей картине Вы можете увидеть улучшенную синусоидальную волну после небольшой частотной корректировки.



**Рис. 27 (05.31.2007 – 13:26) более точная подстройка частоты на 2х катушках**

Вы можете видеть, что амплитуда пика волны синуса теперь около +140V (это можно увидеть в центре экрана). Другие пики заканчивают процесс преобразования.

Следует, отметить, что лучшие снимки, получаются при использовании осциллографа со встроенной функцией пикового детектора и функцией памяти для сохранения результатов измерения.



**Рис. 28 Различные части преобразованных пиков**

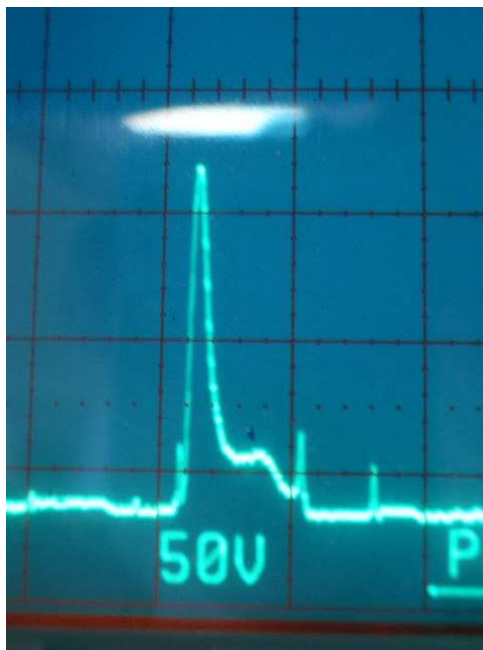


Рис. 29 (05.31.13:32) детализация части преобразованного пика

## 6.2 Тесты с 15" ECD

<b>Партия#3</b>	
Дата	05.31.2007
Начало теста	2:02 PM
СС	Три вторичных обмотки СС кат. последовательно соединены
Частота	F=1

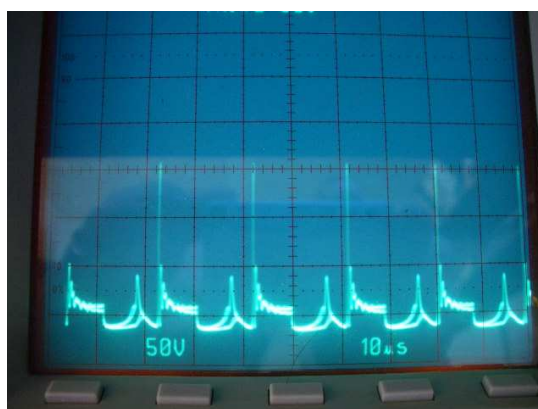


Рис. 30 16" ECD 3 СС и 1 частота



Мы видим, что только с одной входной частотой у нас есть волны синуса приблизительно +50V. Волны синуса появляются как раз перед любой прямоугольной волной, это означает это с 16" ECD синус формируется для каждого выброса!

Здесь мы заметили другую очень интересную особенность: если варьировать на понижение частоты, тогда Сиид (как уже было сказано ранее) скользит к правой части базовой линии. При этом реально съедается пиковый выброс, медленно снижая частоту, можно наблюдать уменьшение амплитуды выброса следующего после сформированной синусоидальной волны.

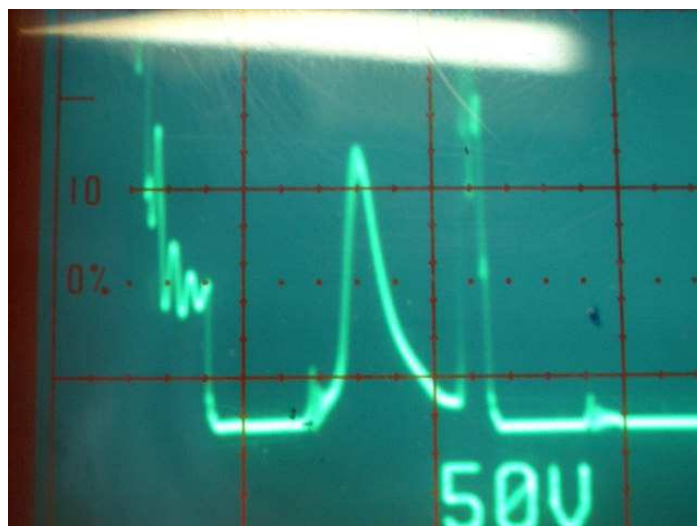
Другая интересная особенность – что яркость свечения лампочки не сфазирована с формированием синусоидальной волны.

Партия#4	
Дата	05.31.2007
Начало теста	1:35 PM
СС	Только одна СС закрепленная в начале большой петли
Частота	F=1, 2, 3



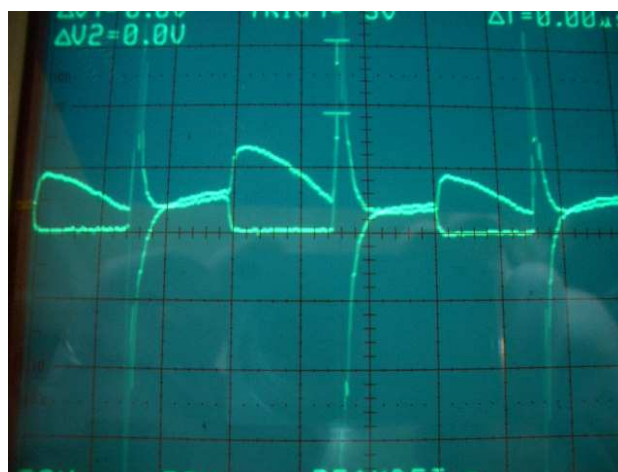
Рис. 31 (05.31.2007 – 13:36) Пик съеден

В этом случае ясно, что синусоидальная волна съела второй большой Выброс.



**Рис. 32 (05.31.2007 - 13:38) Подробности созданной синусоидальной волны (Сиид на ведущем крае).**

Далее , следует картинка для форм волны, измеренных на обоих концах проводов электролампы. Нулевая линия развертки в центре экрана. Вы заметите, что в этом случае нет никаких преобразований, так как мы находимся вне желанной точки этих 3 частот.



**Рис. 33 (06.01.2007 - 14:27) сигналы на концах нагрузки - нет преобразования**

Так же как в предыдущем случае но, процесс преобразования в своем максимуме, Вы можете видеть хорошо сформированный большой синус (на силовом тренде). Кажется, что формы волны также теперь почти симметричны как в прошлом случае.



**Рис. 34 (06.01.2007 - 14:39) Сигналы на концах нагрузки - преобразование @тах**

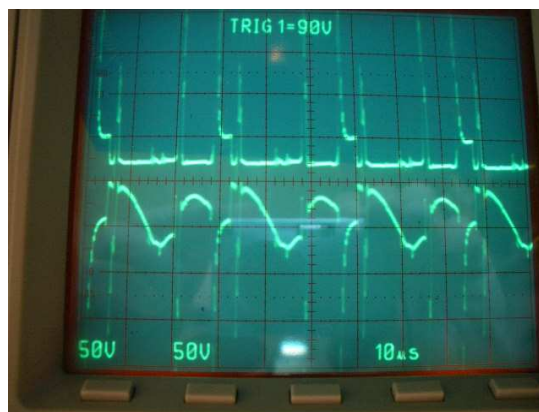
Пожалуйста, обратите внимание на реальное ПЕРЕМЕШИВАНИЕ сигналов (нулевая линия для нижней трассы на два деления выше от нижней части экрана; нулевая линия для верхней трассы находится в центре экрана), все синусоидальные волны - находятся в положительной области, суммарная амплитуда обоих позитивных и негативных пиков приблизительно 1500-1600В DC все это относится к двум лампапроводам Мёбиуса (Сильно усиленное поле!):

### **BREAKTROUGHT**

**МЫ ИМЕЕМ СИНУСОИДАЛЬНУЮ ВОЛНУ НА ОДНОМ ВЫВОДЕ НАГРУЗКИ (Нижняя часть картинка) И ПУЛЬСИРУЕМОЕ DC, НА ДРУГОМ ВЫВОДЕ НАГРУЗКИ (верхняя часть картинка), ТОЧНО ТАК ЖЕ КАК ГОВОРИЛ СТИВЕН МАРК**

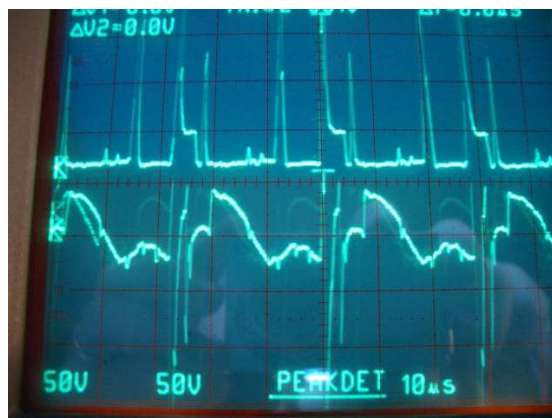
А здесь используется только одна катушка

Здесь наступает желанное событие ... небольшая подстройка частот, и мы действительно легко получаем большее количество сформированных синусоидальных волн. Процесс настройки был преднамеренно замедлен, для того чтобы убедиться, что **А НЕ ПОЛУЧИЛОСЬ ЛИ У НАС ПОЛНОЕ ПРЕОБРАЗОВАНИЕ.**



**Рис. 35 (06.01.2007 – 15:47) много синусных кусков объединенных вместе**

Большинство синусоидальных волн на нижнем канале экрана было сформировано, и мы можем видеть на PS небольшое напряжение «накачки».

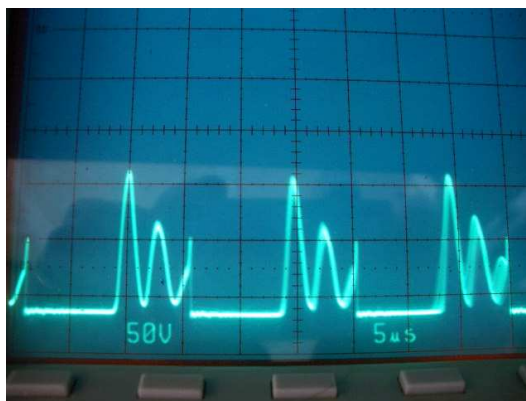


**Рис. 36 (06.01.2007 – 15:42) Медленная настройка**

Пожалуйста, обратите внимание, что на рис. 33 и 34 нулевой уровень для нижнего канала установлен на два деления выше нижней части экрана, таким образом, синусоидальные волны – все в первом квадранте.

К сожалению в этом месте мои аккумуляторы фотокамеры разрядились, а я забыл взять с собой зарядное устройство, таким образом я потерял часть последнего скриншота при замерах на 15" ECD. И тем не менее результаты на лицо.

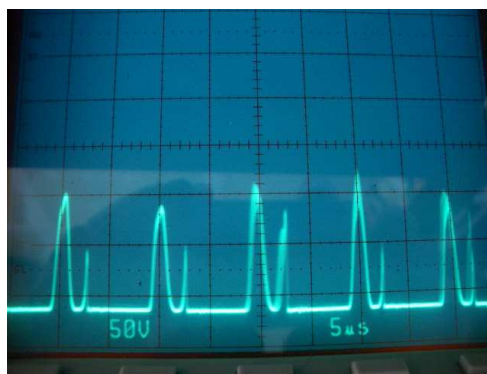
Партия#5	
Дата	05.31.2007
Начало теста	3:50 PM
СС	Только одна СС 2-я по счету
Частота	F=1



**Рис. 37 16" ECD 1СС и 1 частота**

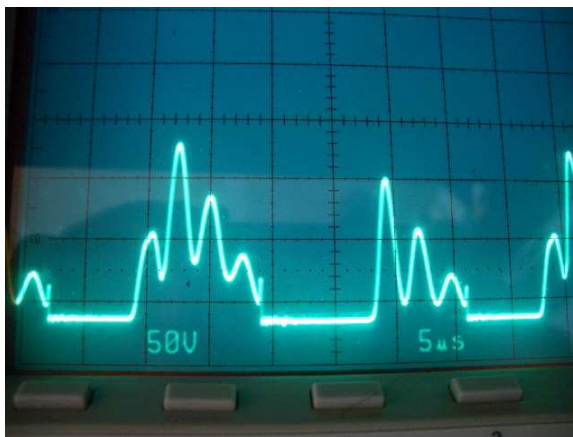
Кажется, что при использовании 2-х частот намного легче и быстрее получить новые 'специальные выбросы'. Пульсируя только вторую по счету катушку с 1 частотой = 66 КГц, мы получаем чистые, но приглушенные синусоидальные колебания, почти завершающиеся за 2.5 цикла.

Партия#6	
Дата	05.31.2007
Начало теста	3:52 PM
СС	две СС вторичные обмотки соединены последовательно
Частота	F=1,2



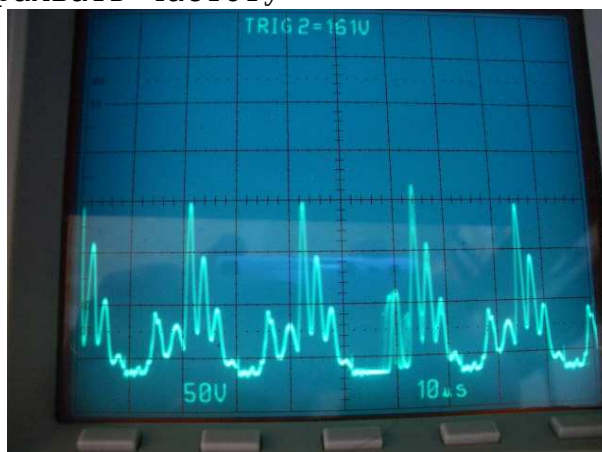
**Рис. 38 05.31.2007 - 15:52) 16" ECD 2 СС и 2 частоты**

С 2-мя частотами мы можем получить чистую синусоидальную волну амплитудой около 100В все в первом квадранте (нулевой уровень развертки совпадает с волновой базовой линией). Теперь мы должны быть очень осторожными, стоит лишь чуть-чуть подстроить частоту и это приведет к тому, что синусоидальные волны, суммируются на вершине основного прямоугольного импульса (частоту F2 регулируем в пределах от 10-100КHz) как изображено на следующем рис..



**Рис. 39 (05.31.2007 - 16:05) 16" ECD - 2 СС и 2 частоты - 1 синусная волна суммируется к вершине.**

Продолжаем подстраивать частоту



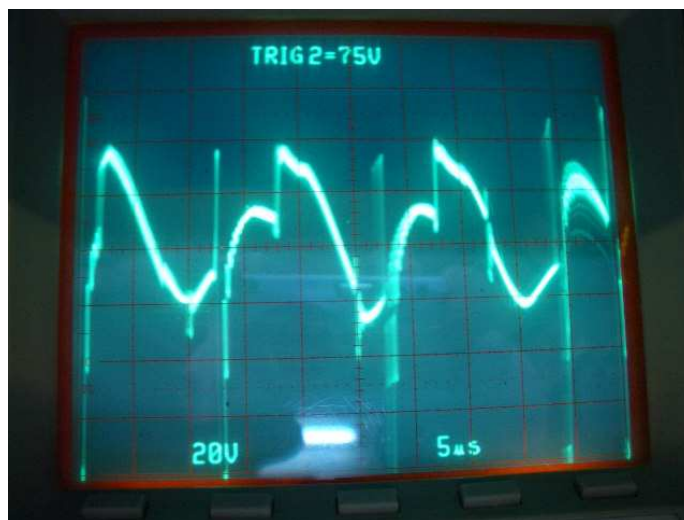
**Рис. 40 (05.31.2007 - 16:04) 16" ECD - 2 СС и 2 частоты - 2 синусные волны суммируются к вершине**

Теперь ясно, что у нас есть 2 формирующиеся волны:

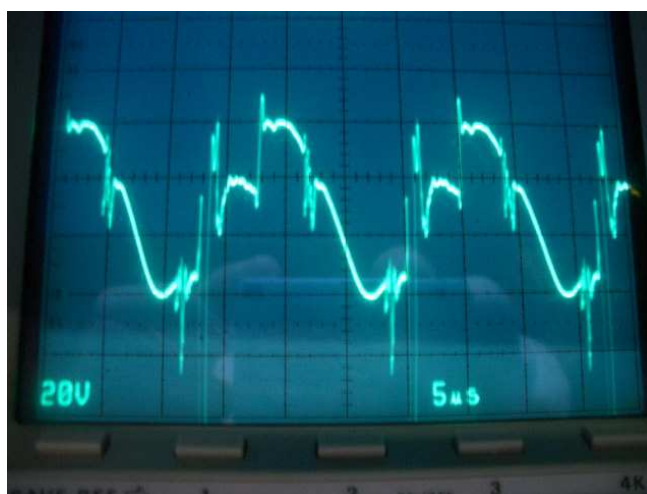
1. Первая синусоидальная волна F1 около 500 КГц.
2. Вторая синусоидальная волна F2 около 50 КГц.

Вторая частота явно искажена и в данном случае смешана с первой.

<b>Партия#7</b>	
Дата	06.02.2007
Начало теста	8:56 AM
СС	Три катушки, вторичные обмотки соединены параллельно
Частота	F=1,2



**Рис. 41 (06.02.2007 - 8:56) 16" ECD - 3 СС и 2 Частоты -  
параллельно соединенные  
- почти полное преобразование**



**Рис. 42 (06.02.2007 - 8:56) 16" ECD - 3 СС и 2 Частоты -  
параллельно соединенные  
- почти полное преобразование**

Эти два изображения очень важны, они действительно показывают ПОЧТИ ПОЛНОЕ ПРЕОБРАЗОВАНИЕ ЭНЕРГИИ, при этом мы старались избегать возможного повреждения оборудования.

Снимки были сделаны с 3-мя входными частотами, с 3-мя катушками, с двойной петлей Мёбиуса и замерах на нагрузке. Нулевой уровень установлен на второй линии экрана, так что пустота создавала частоту около 62 Кгц в первом квадранте.

Подтверждено, что для каждого полностью сформированного куска синуса происходит пропадание соответственно одного специального пика (импульса).

Есть подтверждение 'турбинного эффекта' в момент включения источника питания, легко увидеть, что лампочка ярко вспыхивает. Лампочка 100Ватт/230В ярко горит около 2 секунд. А лампочка 60Ватт/230В горит около 3-4 секунд.



Партия#8	
Дата	05.31.2007
Начало теста	3:52 PM
СС	Три катушки, вторичные обмотки соединены параллельно
Частота	F=1, 2, 3

**К сожалению, изображение этой сессии было потеряно, но мы отметим, что мы могли иметь выбросы и полностью независимые синусоидальные волны!**

## 7. КОРОТКОЕ ИСЛЕДОВАНИЕ СИДА

Как говорилось уже много раз в этом документе, что ключ к открытию процесса преобразования энергии есть то, что мы назвали СИИД. Этот небольшой артефакт обычно около 40В от пика к пику, он имеет сложную внутреннюю структуру, Обычно его можно сдвигать это вдоль оси времени, используя низкочастотный генератор.

И так далее следует то, что мы обнаружили.



**Рис.43 Это СИИД (02.06.2007 - 16:09)**

Сиид, как нам кажется, формируется с помощью двух смешанных синусоидальных частот (Примечание: трудно измерить без ошибок):

- 1-ая приблизительно около 2 МГц (+ - 30%-ая ошибка?)
- 2-ая приблизительно 6.6 МГц (+ - 30%-ая ошибка?)

Первое впечатление такое, что они - есть смесь сигнатур NMR Алюминия и меди (металлы которые по воле случая были использованы при ECD преобразовании).

Чтобы убедиться в этом факте мы прикрутили блок из смеси Магния к корпусу 1-го МОП-транзистора и повторили ту же самую проверку.

На рис. 44 изображен результат. Здесь два Сиида и несколько стартовых синусов. Это говорит о том, что здесь присутствует только один резонанс виде 6 убывающих колебаний на частоте около 1 МГц и амплитудой приблизительно в 30В.

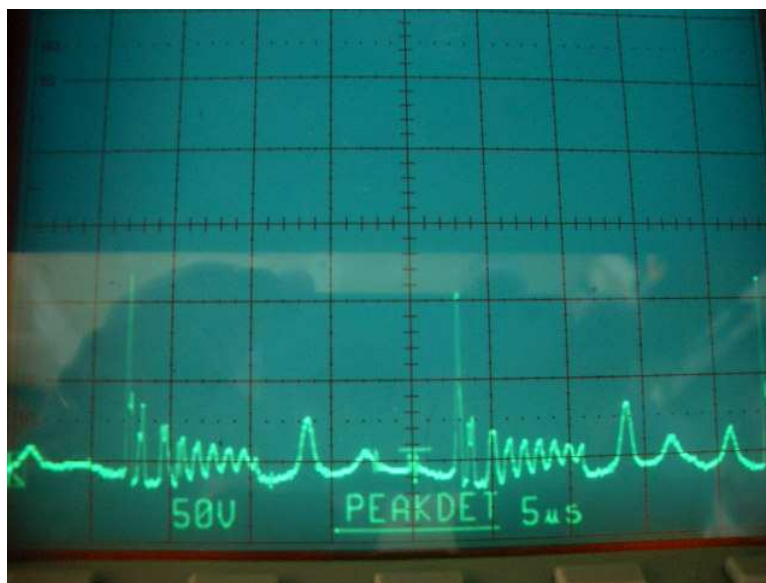


Рис. 44 (05.31.2007 - 15:39) Сиид сигнатура Магния

### BREAKTROUGH

Чтобы получить Сиид, МОП-ТРАНЗИСТОРЫ должны быть горячими: они действительно в этом данном случае начнут совершать работу. Только при достижении высокой температуры (но в пределах их безопасной работающей области), проявится этот эффект. Если температура - меньше чем предопределенное значение (около 80 градусов Цельсия) НЕТ ВОЗМОЖНОСТИ, получить какой либо Сиид. Так случается, что Алюминиевые частицы освобождаются (излучаются) радиатором МОП-транзистора, фактически освобождаются только, тогда когда Алюминий разогрет: это - необходимое условие. Пожалуйста, замете, что Алюминий может легко достигнуть, более чем 100 °С нагреваясь от МОП-транзистора защищая его, тем самым от перегрева.

Пожалуйста, отметьте, что процесс может происходить следующим образом: в начале МОП-транзистор нагревает свой теплоотвод, и поскольку теплоотвод достигает более высокой температуры, это немедленно приводит к излучению потока частиц, которые улавливаются кольцевыми коллекторами Мёбиуса. Эта процесс является полностью автоматическим, и длится около 2-3 секунд. Это может быть замечено, только наблюдая за яркостью спирали лампы. Это происходит подобно турбинному эффекту, фактически сначала вы видите, что спираль лампы слабо красная, затем ярко красная, затем устойчиво ярко белая ... в течение 2 - 3 секунд.

## BREAKTROUGH

Поскольку мы не можем сами определить, почему МОП-транзистор не может автоматически перейти в область отключения, мы попытались: быстро отключить корпус МОП-транзистора от его Аллюминиевого теплоотвода, при этом мы обнаружили, что корпус МОП-транзистора, вполне приемлемой температуры, которая не обжигает пальцы при касании (по нашим оценкам приблизительно около 60-70 °С), а к радиатору невозможно прикоснуться рукой, температура, намного выше (рука размещенная выше, на расстоянии 15см от радиатора может чувствовать горячий воздушный поток) по нашим оценкам намного больше чем 100 °С).

### **ЭТО ПРОТИВОРЕЧИТ ЛЮБЫМ ИЗЕСТНЫМ ЗАКОНАМ ТЕРМОДИНАМИКИ**

На наш взгляд радиатор и корпус транзистора должны быть при одной и той же температуре, поскольку они были объединены вместе (или возможно могло быть только маленькое температурное различие, обусловленное градиентным эффектом).

Мы думаем, что теплота, вначале образуется за счет нагревания МОП-транзистора при его переключении, что в свою очередь приводило к запуску положительной обратной связи, которая в свою очередь высвобождала все больше частиц до определенного момента, при котором равновесное состояние было так или иначе достигнуто. Этот процесс вызывает стресс во внутренней атомной структуре алюминия, и как следствие, приводящее к выделению наблюдаемой нами теплоты.

## 8. КРАТКОЕ ФИНАЛЬНОЕ ЗАКЛЮЧЕНИЕ

Из опыта, приобретенного при тестировании, выяснилось, что ECD своего рода 'Кольцевой Акселератор Частиц', где и какие 'частицы'. Мы предполагаем, что это Электроны, Ионы, и т.д. Частицы главным образом излучаются всеми известными металлами/сплавами и также диэлектриками. Управляющие катушки (СС) есть орудие (способ, возможность для создания условий для излучения этих частиц).

DC пульсация в медных катушках действительно обеспечивает:

1. магнитное поле, чтобы ускорить частицы,
2. Связь под  $90^\circ$  по отношению к Мёбиус катушкам позволяет улавливать ВЕМФ, РЕ,
3. дополнительная энергия на Мёбиус катушках аккумулируется из-за эффекта резонанса NMR.

Вы найдете хорошо организованную и прокомментированную информацию здесь: <http://magnetism.fateback.com/Overunity.htm>

Мебиус, используемый, даже только с единственной расположенной под  $90^\circ$  катушкой был в состоянии генерировать «Сиид» и таким образом запускающиеся пики приводили к процессу преобразования синусоидальных волн.

Используемая DC импульсная методика с 3 частотами также хорошо продемонстрировала возможность воссоздать EM поле необходимое для достижения необходимой выходной мощности устройства. Это проявляется в том, что каждая частота выполняет свою специальную задачу подобно тем: инициирует преобразование, увеличивает поставляемую мощность, и т.д..

ECD, когда находится недалеко от момента достижения состояния преобразования, действительно генерирует также сильное магнитное поле, мы проверили это с помощью маленького магнита на расстоянии нескольких метров. Это поле, увеличивается с наклоном в  $20^\circ$  в направлении верхней позиции (это после перемещении 6" кольца вверх на 44 мм).

До сих пор пока не ясно, эта огромная мощность перенапряжения, испытанная Otto, поступала от эффекта резонанса NMR, или ответвления ZPE, или земного ответвления энергии, или еще от чего-то... По нашему мнению, понимание, что Сиид есть ключ к генерации пиков к эффекту преобразования синусоидальных волн является определяющим.